

MO640 – Biologia Computacional

Zanoni Dias

Instituto de Computação – Unicamp

Segundo Semestre de 2018

Roteiro

- 1 Rearranjos de Genomas
- 2 Genoma Mitocondrial
- 3 Distância de Reversão sem Orientação de Genes
- 4 Ordenação por Reversões sem Orientação de Genes
- 5 Problema da Ordenação de Panquecas
- 6 Breakpoints e Strips
- 7 Algoritmo para Ordenação por Reversões sem Orientação de Genes
- 8 Ordenação por Reversões com Orientação de Genes
- 9 Hurdles
- 10 Algoritmo para Ordenação por Reversões com Orientação de Genes
- 11 Ordenação por Transposições
- 12 Ordenação por Reversões e Transposições

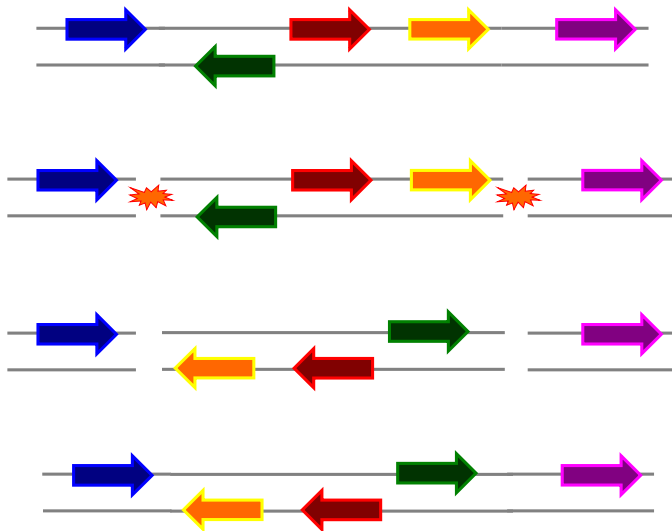
Rearranjos de Genomas

- Rearranjo de Genomas é a área da Biologia Computacional dedicada à comparação de genomas considerando eventos de mutação que afetam grandes porções dos genomas.
- Rearranjo de Genomas é uma forma mais adequada de comparar genomas completos do que através de mutações pontuais (inserções, remoções ou substituições).
- A comparação é realizada considerando apenas o conjunto dos blocos conservados entre os genomas.
- Um bloco conservado tipicamente representa um ou mais genes.

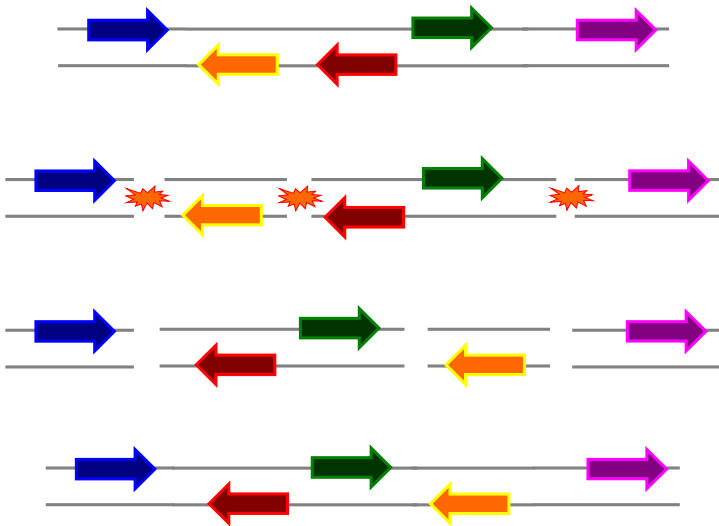
Principais Eventos de Mutação

- Conservativos:
 - ▶ Reversão
 - ▶ Transposição
 - ▶ Transposição Reversa
 - ▶ Fissão
 - ▶ Fusão
 - ▶ Translocação
- Não Conservativos:
 - ▶ Inserção
 - ▶ Remoção
 - ▶ Duplicação

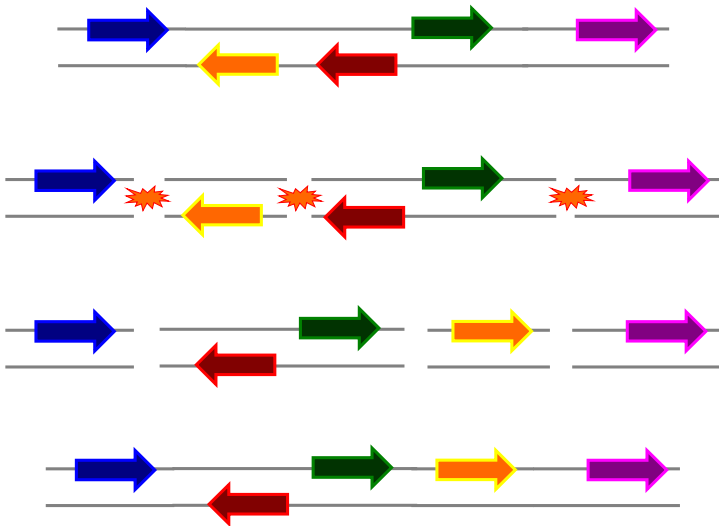
Reversão



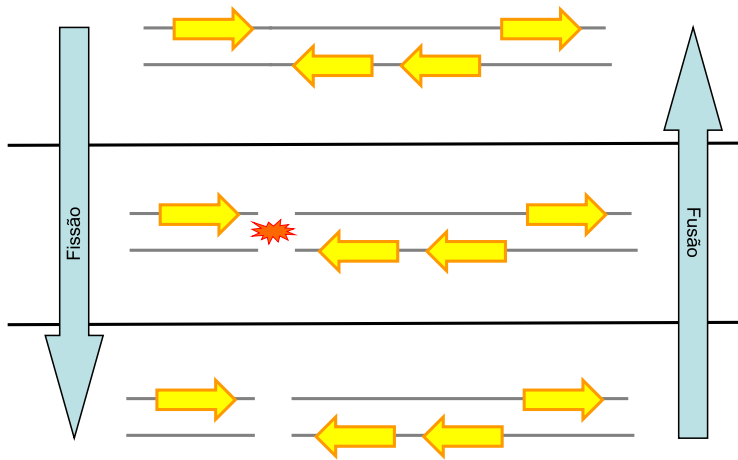
Transposição



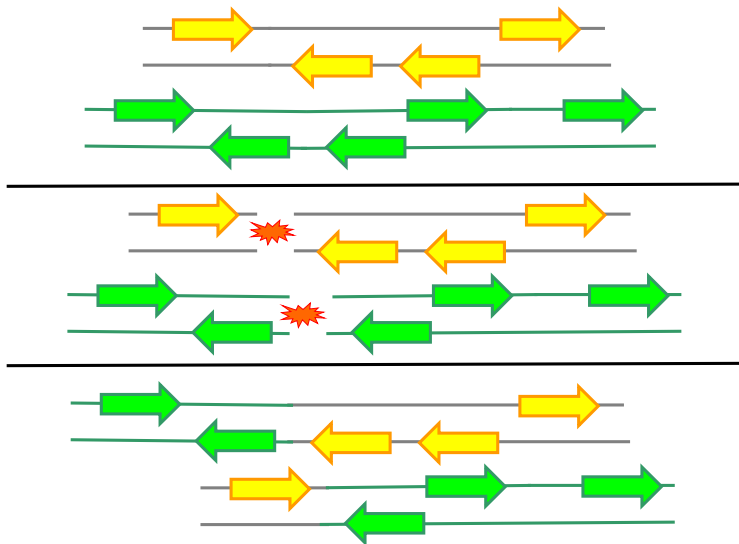
Transposição Reversa



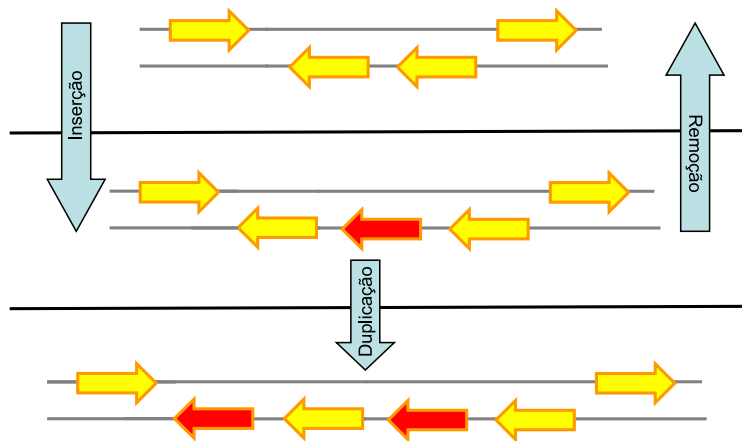
Fissão e Fusão



Translocação



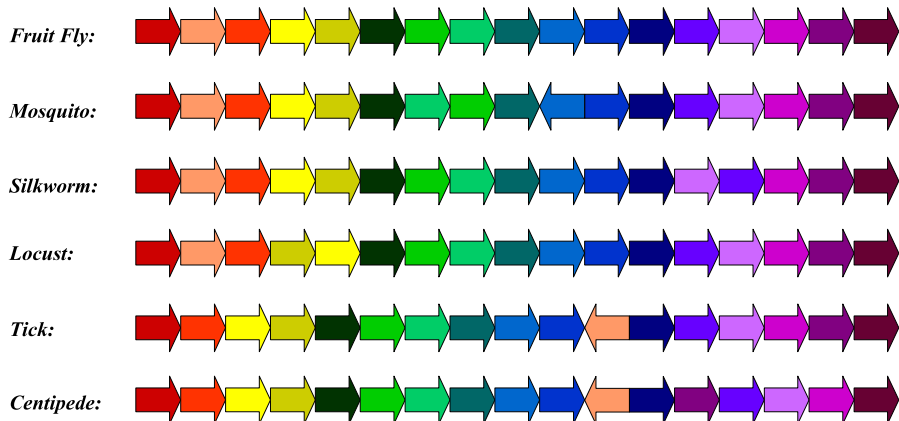
Inserção, Remoção e Duplicação



Genoma Mitocondrial

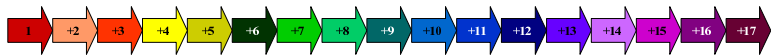
- Mitocôndria é uma organela envolvida no processo de respiração celular presente na maioria dos eucariotos.
- Possui um genoma circular com aproximadamente 16kbp, com 37 genes, sendo que 13 codificam proteínas, 22 codificam RNAs transportadores e 2 codificam RNAs ribossomais.
- O genoma mitocondrial é altamente conservado em animais, mas a ordem dos genes varia bastante de espécie para espécie.

Blocos Conservados em Mitocôndrias de Artrópodes



Blocos Conservados em Mitocôndrias de Artrópodes

Fruit Fly:



Mosquito:



Silkworm:



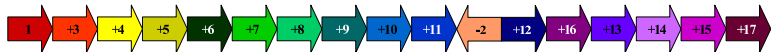
Locust:



Tick:



Centipede:



Distância de Reversão sem Orientação de Genes

- Nem sempre é possível conhecer os blocos conservados e a orientações dos genes de dois genomas.
- Podemos representar um genoma com n blocos conservados como uma permutação, $\pi = \pi_1\pi_2 \dots \pi_n$, dos números de 1 a n .
- A reversão $\rho(i, j)$, com $1 \leq i < j \leq n$, reverte a ordem de $\pi[i..j]$, ou seja, $\pi \cdot \rho(i, j) = \pi_1\pi_2 \dots \pi_{i-1} \underline{\pi_j\pi_{j-1} \dots \pi_{i+1}\pi_i} \pi_{j+1} \dots \pi_{n-1}\pi_n$.
- *Distância de Reversão*: dados dois genomas compostos por n blocos conservados, representados pelas permutações π e σ , calcular a distância de reversão ($d(\pi, \sigma)$) entre π e σ , ou seja, obter uma série de reversões $\rho_1, \rho_2, \dots, \rho_r$, de tamanho mínimo, tal que $d(\pi, \sigma) = r$ e $\pi \cdot \rho_1 \cdot \rho_2 \dots \rho_r = \sigma$.
- *Ordenação por Reversões*: dado um genoma composto por n blocos conservados, representado pela permutação π , calcular a distância de reversão ($d(\pi)$) entre π e a permutação identidade $\iota = (1, 2, \dots, n)$, ou seja, $d(\pi) = d(\pi, \iota)$.

Distância de Reversão \times Ordenação por Reversões

$$\pi = 5 \quad 3 \quad 1 \quad 6 \quad 7 \quad 4 \quad 2$$

$$\sigma = 6 \quad 3 \quad 2 \quad 7 \quad 5 \quad 1 \quad 4$$

Distância de Reversão \times Ordenação por Reversões

$$\pi = 5 \quad 3 \quad 1 \quad 6 \quad 7 \quad \boxed{4 \quad 2}$$

$$\sigma = 6 \quad 3 \quad 2 \quad 7 \quad 5 \quad 1 \quad 4$$

Distância de Reversão \times Ordenação por Reversões

$$\pi = 5 \quad 3 \quad 1 \quad 6 \quad 7 \quad \boxed{4 \quad 2}$$

$$5 \quad 3 \quad 1 \quad 6 \quad 7 \quad 2 \quad 4$$

$$\sigma = 6 \quad 3 \quad 2 \quad 7 \quad 5 \quad 1 \quad 4$$

Distância de Reversão \times Ordenação por Reversões

$\pi = 5 \quad 3 \quad 1 \quad 6 \quad 7 \quad \boxed{4 \quad 2}$

5 3 $\boxed{1 \quad 6 \quad 7 \quad 2}$ 4

$\sigma = 6 \quad 3 \quad 2 \quad 7 \quad 5 \quad 1 \quad 4$

Distância de Reversão \times Ordenação por Reversões

$$\pi = 5 \quad 3 \quad 1 \quad 6 \quad 7 \quad \boxed{4 \quad 2}$$

$$5 \quad 3 \quad \boxed{1 \quad 6 \quad 7 \quad 2} \quad 4$$

$$5 \quad 3 \quad 2 \quad 7 \quad 6 \quad 1 \quad 4$$

$$\sigma = 6 \quad 3 \quad 2 \quad 7 \quad 5 \quad 1 \quad 4$$

Distância de Reversão \times Ordenação por Reversões

$$\pi = 5 \quad 3 \quad 1 \quad 6 \quad 7 \quad \boxed{4 \quad 2}$$

$$5 \quad 3 \quad \boxed{1 \quad 6 \quad 7 \quad 2} \quad 4$$

$$\boxed{5 \quad 3 \quad 2 \quad 7 \quad 6} \quad 1 \quad 4$$

$$\sigma = 6 \quad 3 \quad 2 \quad 7 \quad 5 \quad 1 \quad 4$$

Distância de Reversão \times Ordenação por Reversões

$$\pi = 5 \quad 3 \quad 1 \quad 6 \quad 7 \quad \boxed{4 \quad 2}$$

$$5 \quad 3 \quad \boxed{1 \quad 6 \quad 7 \quad 2} \quad 4$$

$$\boxed{5 \quad 3 \quad 2 \quad 7 \quad 6} \quad 1 \quad 4$$

$$6 \quad 7 \quad 2 \quad 3 \quad 5 \quad 1 \quad 4$$

$$\sigma = 6 \quad 3 \quad 2 \quad 7 \quad 5 \quad 1 \quad 4$$

Distância de Reversão \times Ordenação por Reversões

$\pi = 5 \quad 3 \quad 1 \quad 6 \quad 7 \quad \boxed{4 \quad 2}$

5 3 $\boxed{1 \quad 6 \quad 7 \quad 2}$ 4

$\boxed{5 \quad 3 \quad 2 \quad 7 \quad 6}$ 1 4

6 $\boxed{7 \quad 2 \quad 3}$ 5 1 4

$\sigma = 6 \quad 3 \quad 2 \quad 7 \quad 5 \quad 1 \quad 4$

Distância de Reversão \times Ordenação por Reversões

$$\pi = 5 \quad 3 \quad 1 \quad 6 \quad 7 \quad \boxed{4 \quad 2}$$

$$5 \quad 3 \quad \boxed{1 \quad 6 \quad 7 \quad 2} \quad 4$$

$$\boxed{5 \quad 3 \quad 2 \quad 7 \quad 6} \quad 1 \quad 4$$

$$6 \quad \boxed{7 \quad 2 \quad 3} \quad 5 \quad 1 \quad 4$$

$$\sigma = \begin{matrix} 6 & 3 & 2 & 7 & 5 & 1 & 4 \\ 1 & 2 & 3 & 4 & 5 & 6 & 7 \end{matrix} = \iota$$

Distância de Reversão \times Ordenação por Reversões

$$\pi = \begin{array}{cccccc} 5 & 3 & 1 & 6 & 7 & 4 & 2 \\ 5 & 2 & 6 & 1 & 4 & 7 & 3 \end{array} = \pi'$$

$$5 \quad 3 \quad 1 \quad 6 \quad 7 \quad 2 \quad 4$$

$$5 \quad 3 \quad 2 \quad 7 \quad 6 \quad 1 \quad 4$$

$$6 \quad 7 \quad 2 \quad 3 \quad 5 \quad 1 \quad 4$$

$$\sigma = \begin{array}{cccccc} 6 & 3 & 2 & 7 & 5 & 1 & 4 \\ 1 & 2 & 3 & 4 & 5 & 6 & 7 \end{array} = \iota$$

Distância de Reversão \times Ordenação por Reversões

$$\pi = \begin{array}{cccccc} 5 & 3 & 1 & 6 & 7 & 4 & 2 \\ 5 & 2 & 6 & 1 & 4 & 7 & 3 \end{array} = \pi'$$

$$\begin{array}{cccccc} 5 & 3 & 1 & 6 & 7 & 2 & 4 \\ 5 & 2 & 6 & 1 & 4 & 3 & 7 \end{array}$$

$$\begin{array}{cccccc} 5 & 3 & 2 & 7 & 6 & 1 & 4 \end{array}$$

$$\begin{array}{cccccc} 6 & 7 & 2 & 3 & 5 & 1 & 4 \end{array}$$

$$\sigma = \begin{array}{cccccc} 6 & 3 & 2 & 7 & 5 & 1 & 4 \\ 1 & 2 & 3 & 4 & 5 & 6 & 7 \end{array} = \iota$$

Distância de Reversão \times Ordenação por Reversões

$$\pi = \begin{array}{cccccc} 5 & 3 & 1 & 6 & 7 & 4 & 2 \\ 5 & 2 & 6 & 1 & 4 & 7 & 3 \end{array} = \pi'$$

$$\begin{array}{cccccc} 5 & 3 & 1 & 6 & 7 & 2 & 4 \\ 5 & 2 & 6 & 1 & 4 & 3 & 7 \end{array}$$

$$\begin{array}{cccccc} 5 & 3 & 2 & 7 & 6 & 1 & 4 \\ 5 & 2 & 3 & 4 & 1 & 6 & 7 \end{array}$$

$$\begin{array}{cccccc} 6 & 7 & 2 & 3 & 5 & 1 & 4 \end{array}$$

$$\sigma = \begin{array}{cccccc} 6 & 3 & 2 & 7 & 5 & 1 & 4 \\ 1 & 2 & 3 & 4 & 5 & 6 & 7 \end{array} = \iota$$

Distância de Reversão \times Ordenação por Reversões

$$\pi = \begin{array}{cccccc} 5 & 3 & 1 & 6 & 7 & 4 & 2 \\ 5 & 2 & 6 & 1 & 4 & 7 & 3 \end{array} = \pi'$$

$$\begin{array}{cccccc} 5 & 3 & 1 & 6 & 7 & 2 & 4 \\ 5 & 2 & 6 & 1 & 4 & 3 & 7 \end{array}$$

$$\begin{array}{cccccc} 5 & 3 & 2 & 7 & 6 & 1 & 4 \\ 5 & 2 & 3 & 4 & 1 & 6 & 7 \end{array}$$

$$\begin{array}{cccccc} 6 & 7 & 2 & 3 & 5 & 1 & 4 \\ 1 & 4 & 3 & 2 & 5 & 6 & 7 \end{array}$$

$$\sigma = \begin{array}{cccccc} 6 & 3 & 2 & 7 & 5 & 1 & 4 \\ 1 & 2 & 3 & 4 & 5 & 6 & 7 \end{array} = \iota$$

Ordenação por Reversões sem Orientação de Genes

- Podemos adaptar algoritmos de ordenação para usarem apenas reversões para ordenação (sem necessariamente minimizar o número de reversões utilizadas).
- A complexidade de algoritmos de ordenação geralmente é calculada em termos do número de comparações efetuadas.
- No caso do problema da ordenação por reversões, seria interessante adaptar o algoritmo de ordenação que fizesse o menor número possível de trocas, já que as trocas de elementos devem ser transformadas em reversões.
- Entre os algoritmos de ordenação mais comumente utilizados, o Selection Sort é o único que faz no máximo $O(n)$ trocas.

Algoritmo Ingênuo Baseado no Selection Sort para Ordenação por Reversões sem Orientação dos Genes

Algoritmo 1: Selection Sort using Reversals

Input: π, n

$r \leftarrow 0$

for $i \leftarrow 1$ to $n - 1$ **do**

$j \leftarrow i$

while $\pi_j \neq i$ **do**

$j \leftarrow j + 1$

end

if $j \neq i$ **then**

$r \leftarrow r + 1$

$\pi \leftarrow \pi \cdot \rho(i, j)$

end

end

return r

Algoritmo Ingênuo Baseado no Selection Sort para Ordenação por Reversões sem Orientação dos Genes

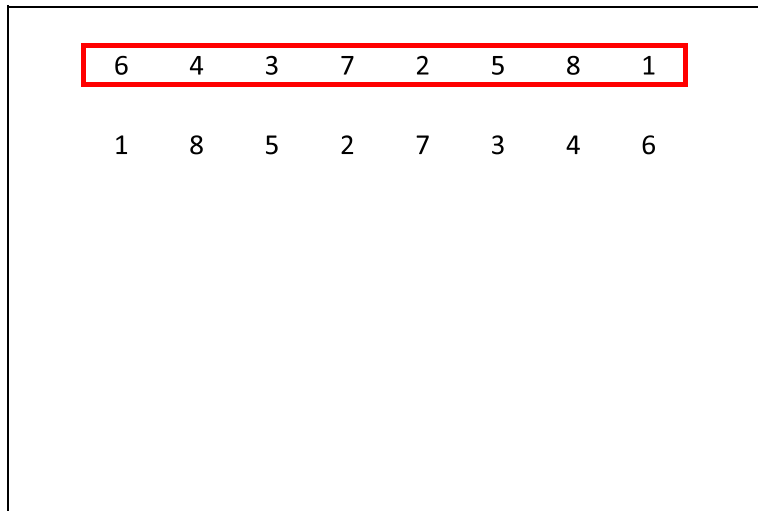
6 4 3 7 2 5 8 1

Algoritmo Ingênuo Baseado no Selection Sort para Ordenação por Reversões sem Orientação dos Genes

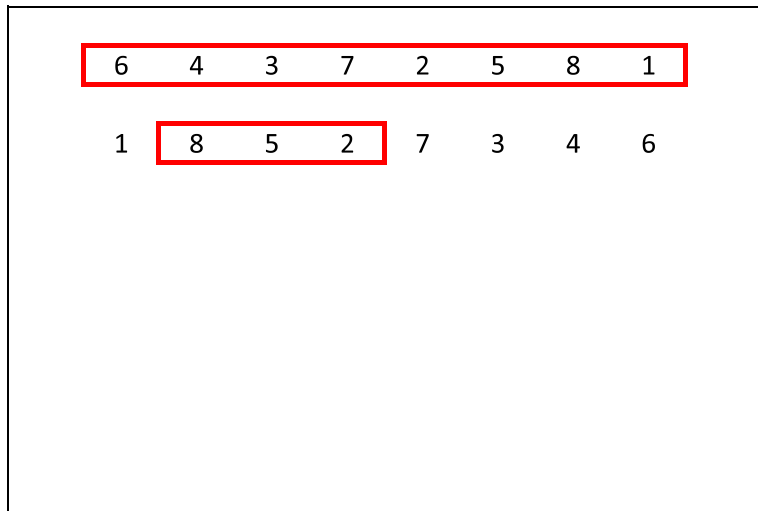


6 4 3 7 2 5 8 1

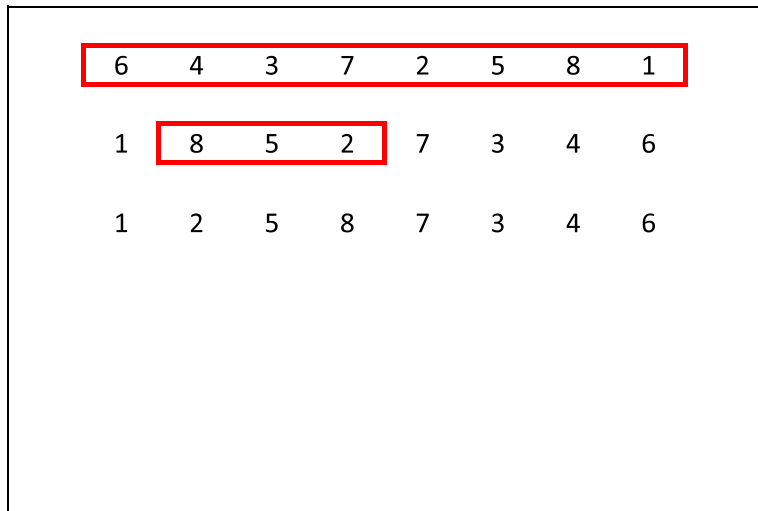
Algoritmo Ingênuo Baseado no Selection Sort para Ordenação por Reversões sem Orientação dos Genes



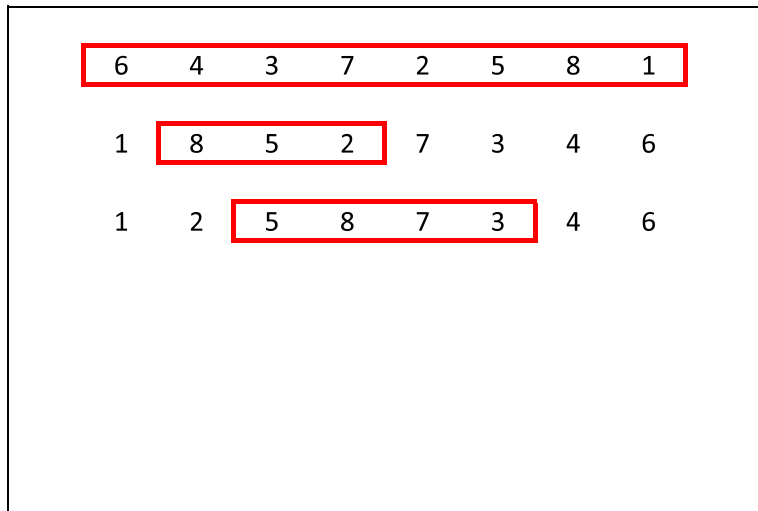
Algoritmo Ingênuo Baseado no Selection Sort para Ordenação por Reversões sem Orientação dos Genes



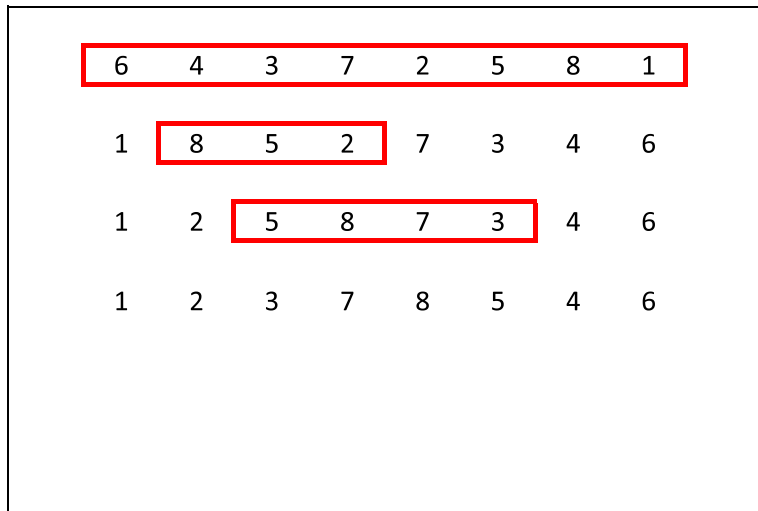
Algoritmo Ingênuo Baseado no Selection Sort para Ordenação por Reversões sem Orientação dos Genes



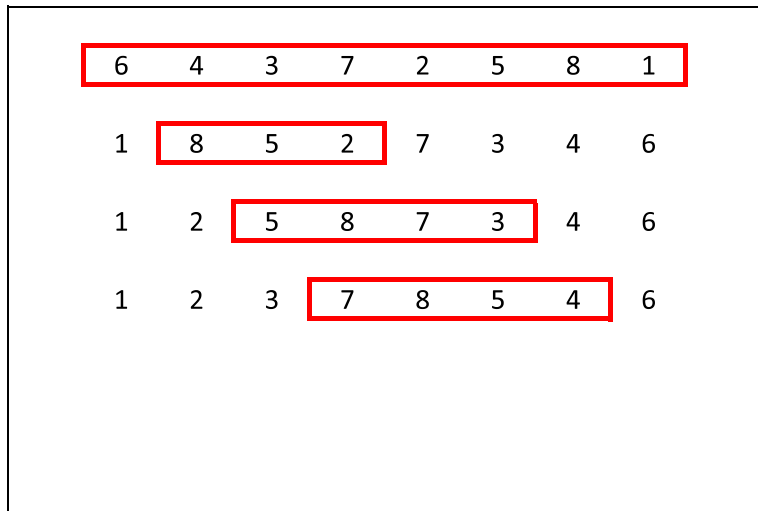
Algoritmo Ingênuo Baseado no Selection Sort para Ordenação por Reversões sem Orientação dos Genes



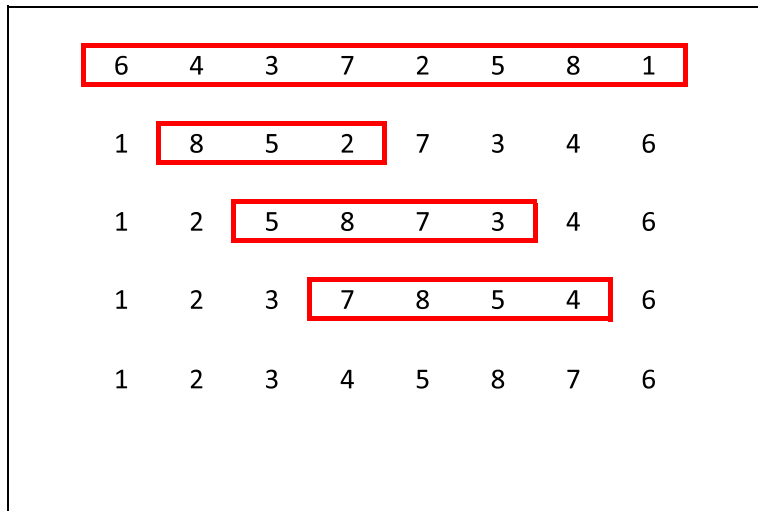
Algoritmo Ingênuo Baseado no Selection Sort para Ordenação por Reversões sem Orientação dos Genes



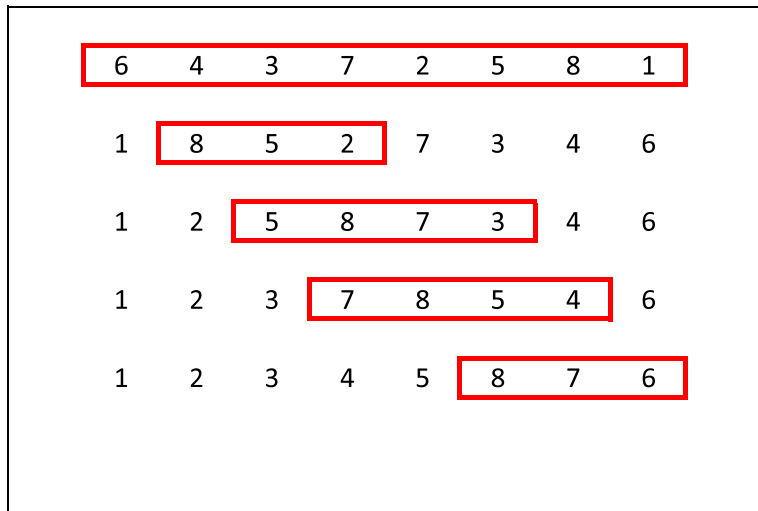
Algoritmo Ingênuo Baseado no Selection Sort para Ordenação por Reversões sem Orientação dos Genes



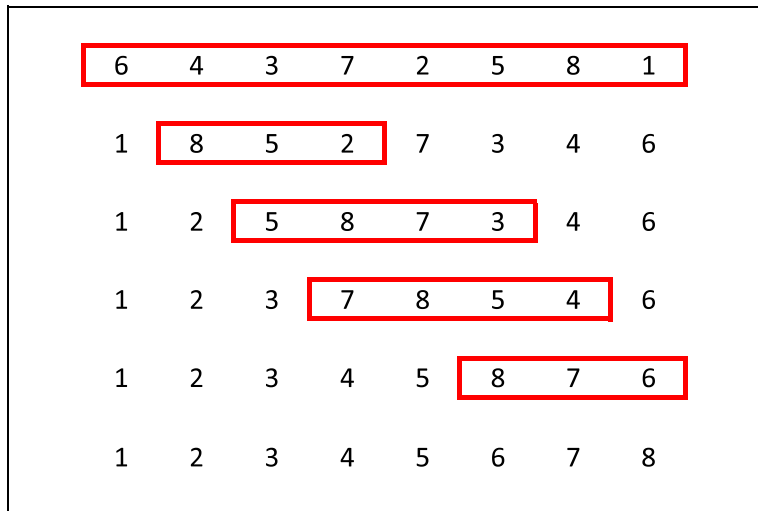
Algoritmo Ingênuo Baseado no Selection Sort para Ordenação por Reversões sem Orientação dos Genes



Algoritmo Ingênuo Baseado no Selection Sort para Ordenação por Reversões sem Orientação dos Genes



Algoritmo Ingênuo Baseado no Selection Sort para Ordenação por Reversões sem Orientação dos Genes



Algoritmo Ingênuo Baseado no Selection Sort para Ordenação por Reversões sem Orientação dos Genes

- Complexidade: $O(n^2)$.
- Aproximação:
 - ▶ Considere a permutação $\pi = (n, 1, 2, \dots, n-2, n-1)$.
 - ▶ O algoritmo ingênuo usa $n-1$ reversões para ordenar π :
 - ★ $\pi \leftarrow \pi \cdot \rho(1, 2) = (1, n, 2, \dots, n-2, n-1)$
 - ★ $\pi \leftarrow \pi \cdot \rho(2, 3) = (1, 2, n, \dots, n-2, n-1)$
 - ★ ...
 - ★ $\pi \leftarrow \pi \cdot \rho(n-2, n-1) = (1, 2, \dots, n, n-1)$
 - ★ $\pi \leftarrow \pi \cdot \rho(n-1, n) = (1, 2, \dots, n-1, n) = \iota$
 - ▶ É possível ordenar π com apenas duas reversões:
 - ★ $\pi \leftarrow \pi \cdot \rho(2, n) = (n, n-1, n-2, \dots, 2, 1)$
 - ★ $\pi \leftarrow \pi \cdot \rho(1, n) = (1, 2, \dots, n-1, n) = \iota$
 - ▶ Logo, o algoritmo ingênuo não garante uma aproximação melhor do que $(n-1)/2$.

Problema da Ordenação de Panquecas

- Dada uma pilha de panquecas circulares, ordená-las, deixando a panqueca de menor diâmetro no topo da pilha. O único movimento permitido para ordenar as panquecas é o de inserir uma espátula num ponto qualquer da pilha e inverter a ordem de todas as panquecas acima da espátula.
- Qual o número mínimo de movimentos suficientes para ordenar qualquer pilha de n panquecas?
- O Problema da Ordenação de Panquecas é equivalente o problema da Ordenação por Reversões de Prefixos, ou seja, o problema da Ordenação por Reversões onde só são permitidas reversões do tipo $\rho(1, i)$, para $2 \leq i \leq n$.

Algoritmo Guloso para o Problema de Ordenação de Panquecas

Algoritmo 2: Greedy Pancake Flipping Problem

Input: π, n

$t \leftarrow 0$

for $i \leftarrow n$ *downto* 2 **do**

$j \leftarrow 1$

while $\pi_j \neq i$ **do**

$j \leftarrow j + 1$

end

if $j \neq i$ **then**

if $j \neq 1$ **then**

$t \leftarrow t + 1$

$\pi \leftarrow \pi \cdot \rho(1, j)$

end

$t \leftarrow t + 1$

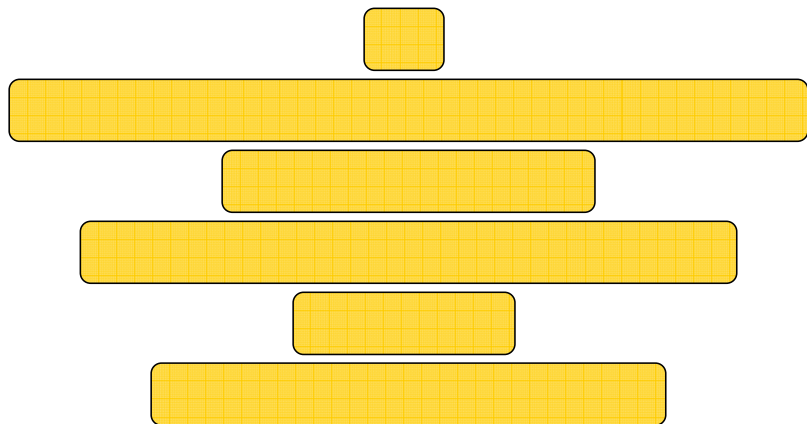
$\pi \leftarrow \pi \cdot \rho(1, i)$

end

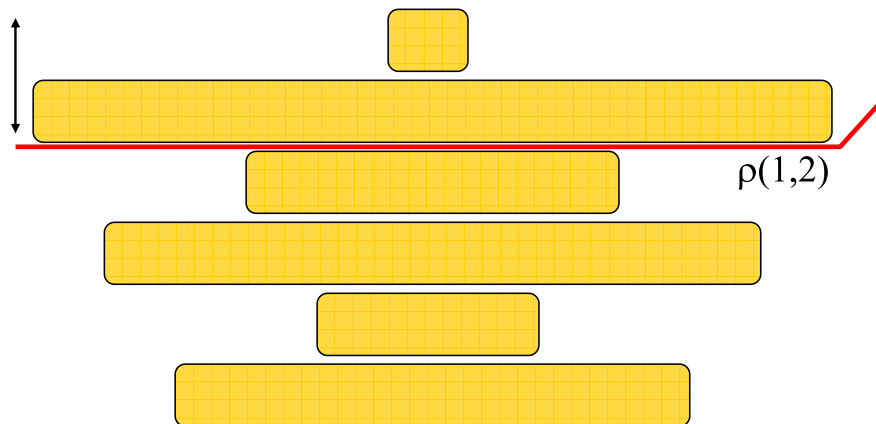
end

return t

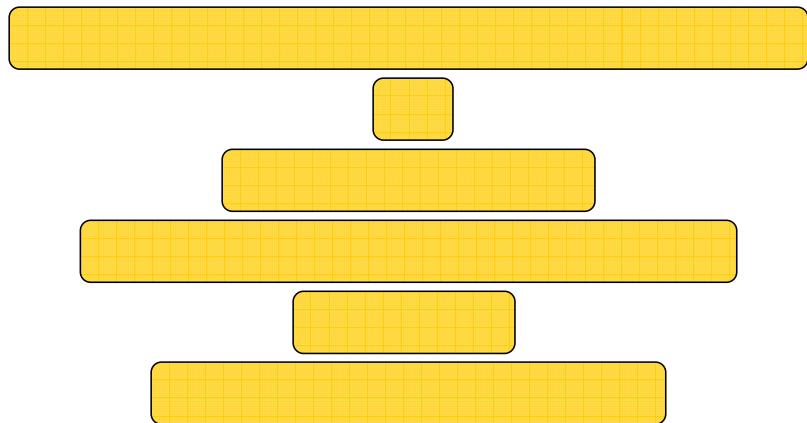
Problema da Ordenação de Panquecas



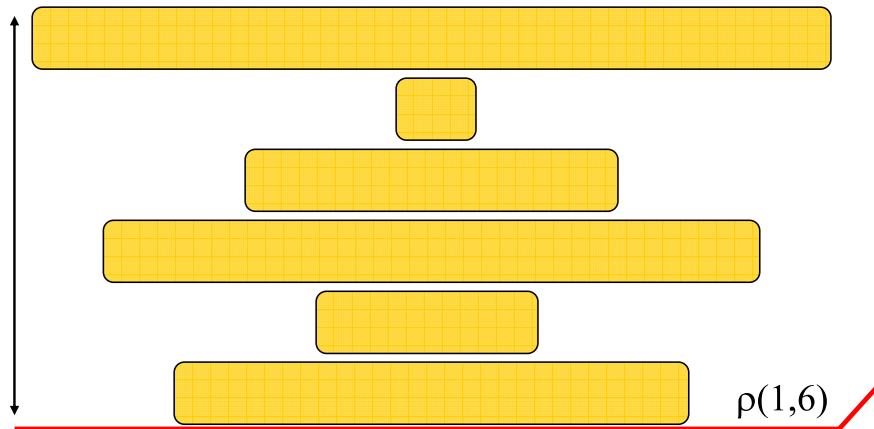
Problema da Ordenação de Panquecas



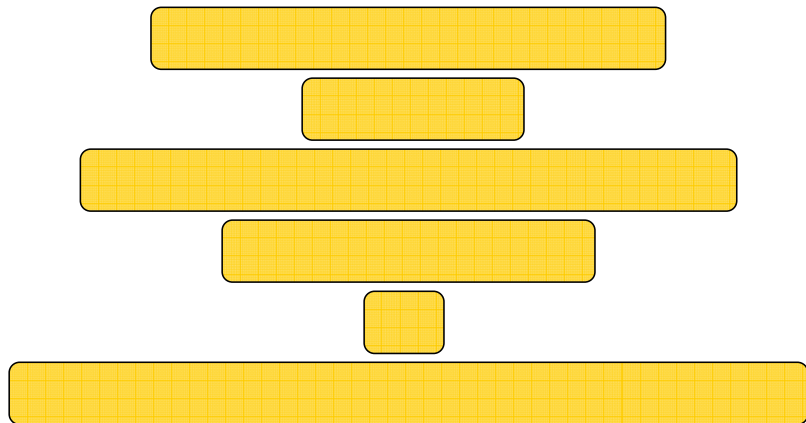
Problema da Ordenação de Panquecas



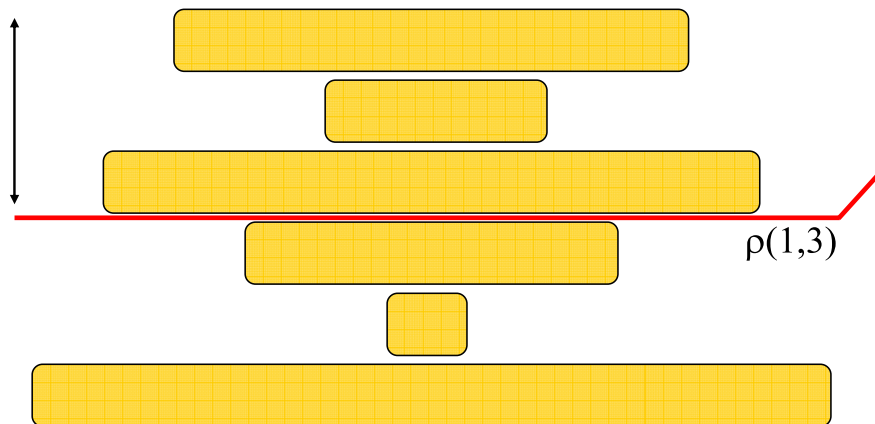
Problema da Ordenação de Panquecas



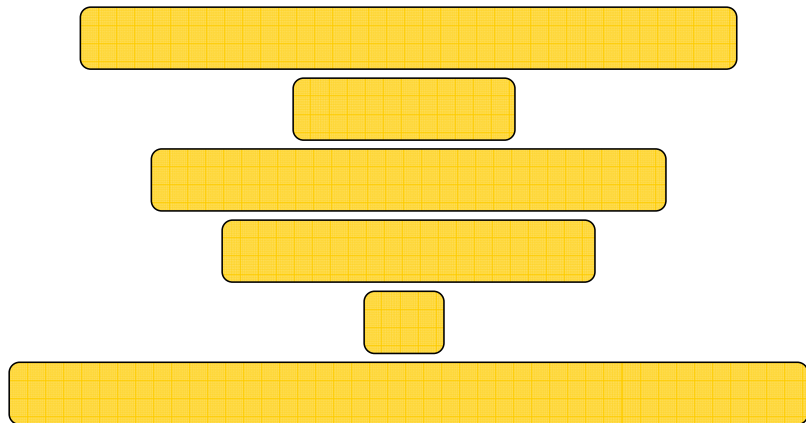
Problema da Ordenação de Panquecas



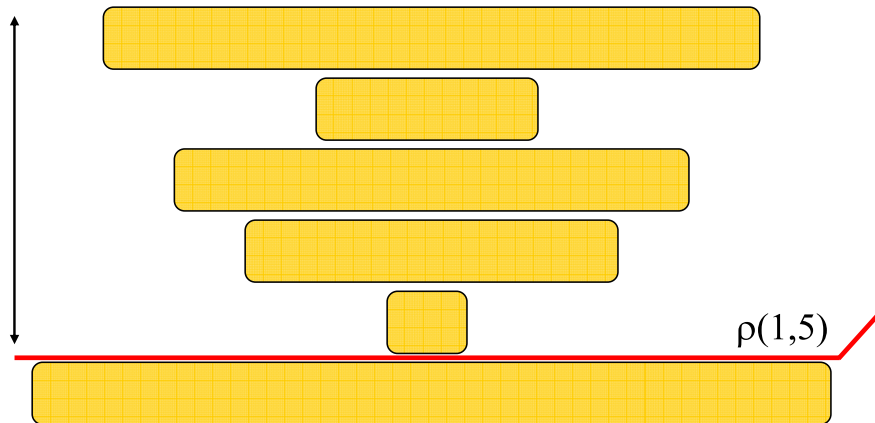
Problema da Ordenação de Panquecas



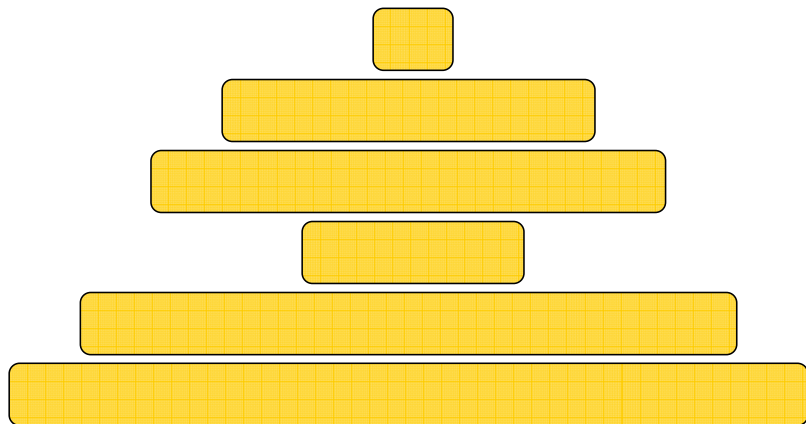
Problema da Ordenação de Panquecas



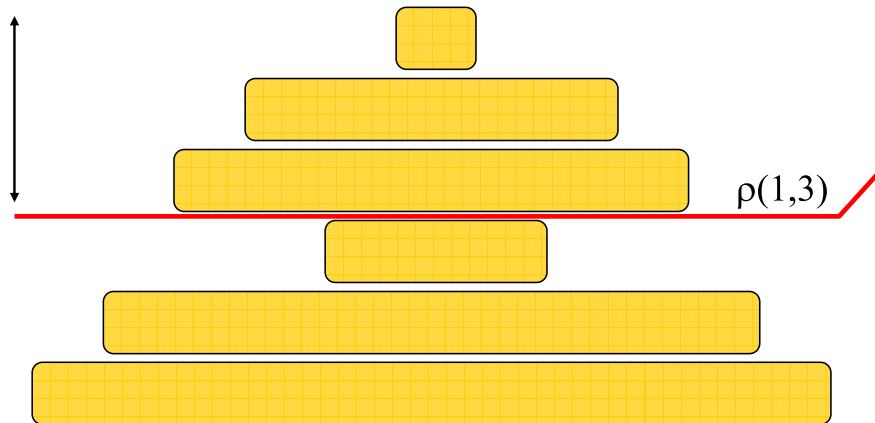
Problema da Ordenação de Panquecas



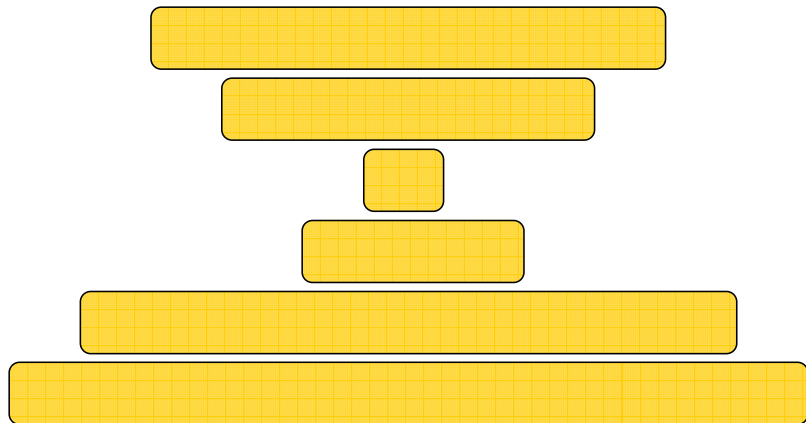
Problema da Ordenação de Panquecas



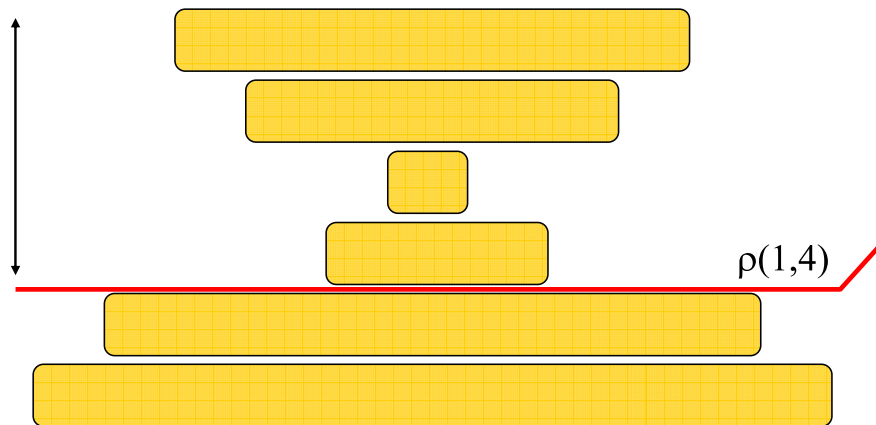
Problema da Ordenação de Panquecas



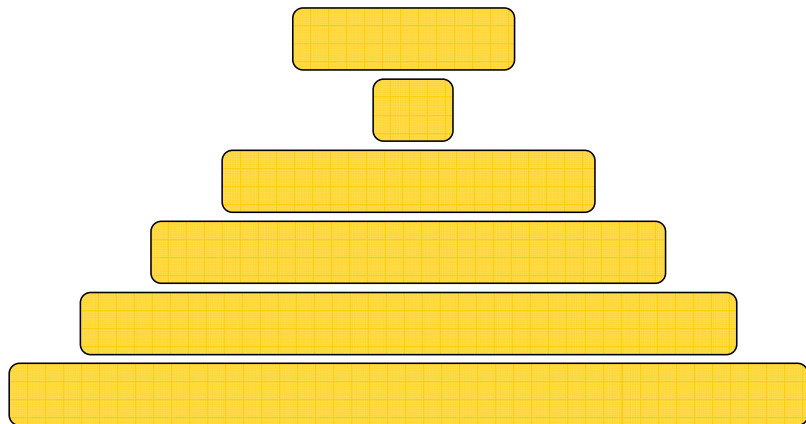
Problema da Ordenação de Panquecas



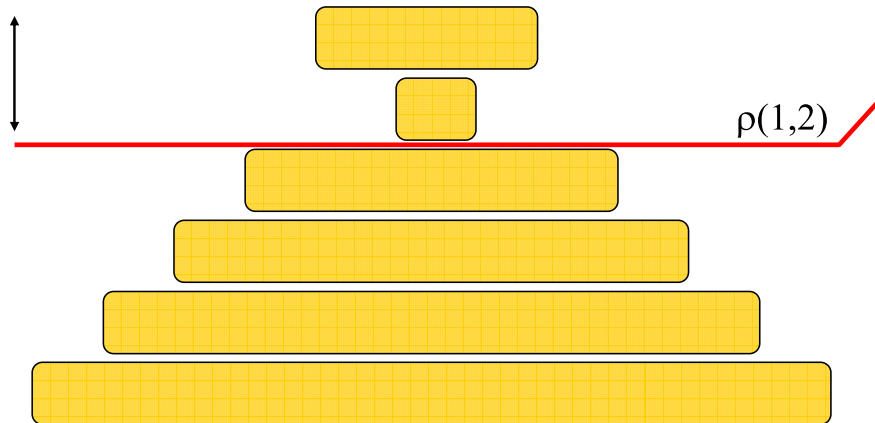
Problema da Ordenação de Panquecas



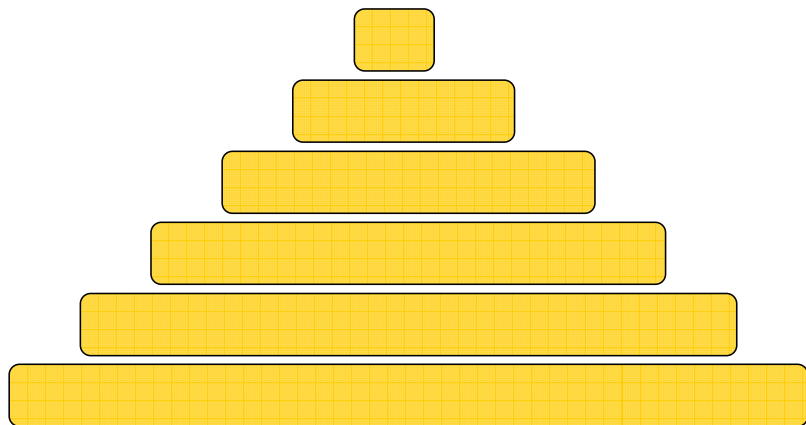
Problema da Ordenação de Panquecas



Problema da Ordenação de Panquecas



Problema da Ordenação de Panquecas



Problema da Ordenação de Panquecas

- Complexidade: $O(n^2)$.
- O algoritmo guloso ordena qualquer pilha de n panquecas em no máximo $2n - 3$ movimentos.
- William Gates e Christos Papadimitriou provaram, em 1979, que $(5n + 5)/3$ movimentos são suficientes e $17n/16$ movimentos podem ser necessários para qualquer pilha de n panquecas
- Em 1997, Mohammad Heydari e Ivan Sudborough mostraram que podem ser necessários $15n/14$ movimentos para ordenar uma pilha de n panquecas.
- Em 2009, Chalam Chitturi, Bill Fahle, Zhaobing Meng, Linda Morales, Charles Shields, Ivan Sudborough e Walter Voit, pela primeira vez em 30 anos, obtiveram um limite superior melhor do que o provado por Gates e Papadimitriou: são suficientes $18n/11$ movimentos para ordenar qualquer pilha de n panquecas.

Breakpoints e Strips

- Vamos considerar a permutação estendida que pode ser obtida a partir de π inserindo-se dois novos elementos: $\pi_0 = 0$ e $\pi_{n+1} = n + 1$.
- Um par de elementos π_i e π_{i+1} , para $0 \leq i \leq n$, é uma *adjacência* se $|\pi_i - \pi_{i+1}| = 1$. Caso contrário, o par de elementos é chamado de *breakpoint*.
- Uma *strip* $\pi[i..j]$ é uma trecho maximal em π tal que todos os pares (π_k, π_{k+1}) são adjacências, para $i \leq k < j$.

Breakpoints e Strips

- O número de *breakpoints* numa permutação π é denotado por $b(\pi)$.
- A única permutação sem *breakpoints* é a permutação identidade ($b(\iota) = 0$). Logo, ordenar por reversões é equivalente a remover todos o *breakpoints* de π .
- Seja $\Delta_b(\pi, \rho) = b(\pi \cdot \rho) - b(\pi)$.
- Logo, $\Delta_b(\pi, \rho) \in \{-2, -1, 0, 1, 2\}$.
- Podemos obter o seguinte limite inferior para o valor distância de reversão ($d(\pi)$), quando a orientação dos genes é desconhecida:

$$d(\pi) \geq \frac{b(\pi)}{2}$$

Breakpoints e Strips

$\Delta_b(\pi, \rho) = +1$

0 • 4 3 2 • 5 6 7 • 1 • 8 9

$\Delta_b(\pi, \rho) = +2$

0 • 4 5 • 2 3 • 6 7 • 1 • 8 9

$\Delta_b(\pi, \rho) = -1$

0 • 4 5 • 2 • 6 • 3 • 7 • 1 • 8 9

$\Delta_b(\pi, \rho) = 0$

0 • 4 5 • 2 1 • 7 • 3 • 6 • 8 9

$\Delta_b(\pi, \rho) = -2$

0 • 4 5 • 1 2 • 7 • 3 • 6 • 8 9

0 • 4 5 • 1 2 3 • 7 6 • 8 9

Breakpoints e Strips

Definição

Uma strip $\pi[i..j]$ é chamada decrescente se e somente se a sequência $\pi_i, \pi_{i+1}, \dots, \pi_{j-1}, \pi_j$ for decrescente. As strips unitárias são definidas como decrescentes, com exceção das strips formadas por π_0 e π_{n+1} que são sempre crescentes.

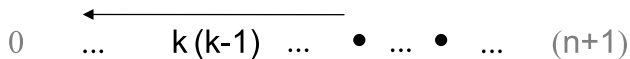
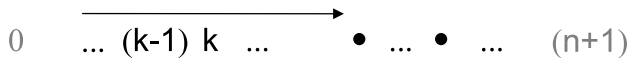
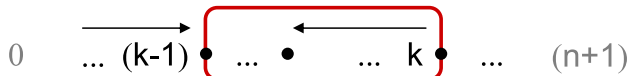
Teorema

Se o elemento k pertence a uma strip decrescente e o elemento $k - 1$ pertence a uma strip crescente, então existe uma reversão ρ tal que $\Delta_b(\pi, \rho) < 0$.

Lema

Seja π uma permutação com pelo menos uma strip decrescente. Então, existe uma reversão ρ tal que $\Delta_b(\pi, \rho) < 0$.

Remoção de Pelo Menos Um Breakpoint com Auxílio de uma Strip Decrescente



Breakpoints e Strips

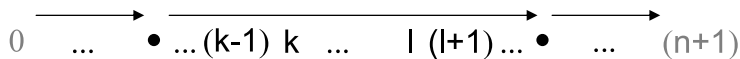
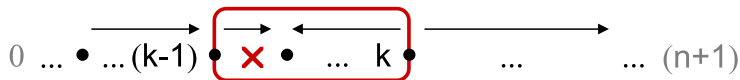
Teorema

Seja π uma permutação que possui uma única strip decrescente. Se todas as reversões ρ que removem breakpoints de π não deixam nenhuma strip decrescente em $\pi \cdot \rho$, então existe uma reversão ρ tal que $\Delta_b(\pi, \rho) = -2$.

Lema

Seja π uma permutação com pelo menos uma strip decrescente. Seja k o menor elemento entre todas as strips decrescentes de π e seja l o maior elemento entre todas as strips decrescentes de π . Seja ρ_k a reversão que posiciona k ao lado de $k - 1$, e seja ρ_l a reversão que posiciona l ao lado de $l + 1$. Se tanto $\pi \cdot \rho_k$ quanto $\pi \cdot \rho_l$ não possuírem nenhuma strip decrescente, então $\rho_k = \rho_l$ e $\Delta_b(\pi, \rho) = -2$.

Remoção de Dois Breakpoints ao Destruir a Última Strip Decrescente



Algoritmo para Ordenação por Reversões sem Orientação de Genes

Algoritmo 3: Greedy Sorting by Reversal

Input: π, n

$r \leftarrow 0$

while $\pi \neq \iota$ **do**

if π has a decreasing strip **then**

$k \leftarrow$ the smallest element in all decreasing strips

$\rho \leftarrow$ the reversal that cuts after k and after $k - 1$

if $\pi \cdot \rho$ has no decreasing strip **then**

$l \leftarrow$ the largest element in all decreasing strips

$\rho \leftarrow$ the reversal that cuts before l and before $l + 1$

end

end

else

$\rho \leftarrow$ the reversal that cuts the first two breakpoints

end

$\pi \leftarrow \pi \cdot \rho$

$r \leftarrow r + 1$

end

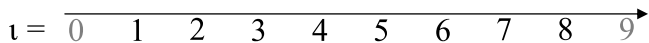
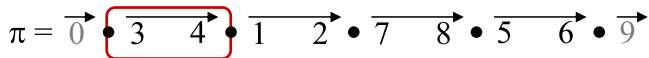
return r

Algoritmo Guloso para Distância de Reversão sem Orientação dos Genes

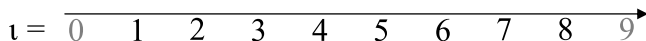
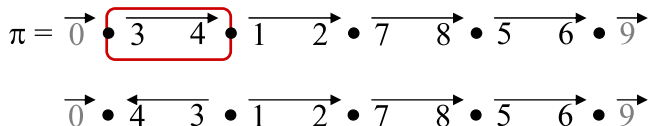
$$\pi = \overrightarrow{0} \bullet \overrightarrow{3 \ 4} \bullet \overrightarrow{1 \ 2} \bullet \overrightarrow{7 \ 8} \bullet \overrightarrow{5 \ 6} \bullet \overrightarrow{9}$$

$$\iota = \overrightarrow{0 \ 1 \ 2 \ 3 \ 4 \ 5 \ 6 \ 7 \ 8 \ 9}$$

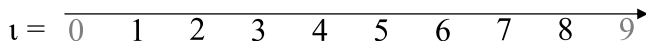
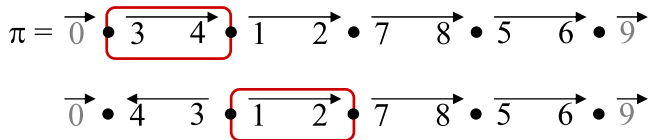
Algoritmo Guloso para Distância de Reversão sem Orientação dos Genes



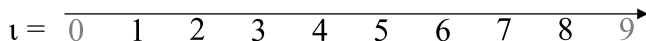
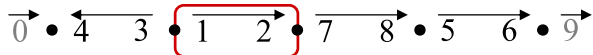
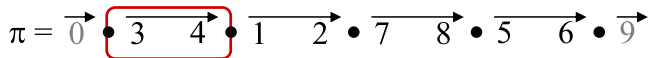
Algoritmo Guloso para Distância de Reversão sem Orientação dos Genes



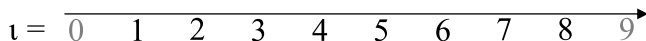
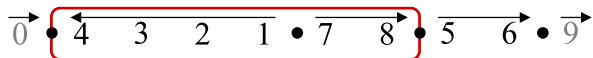
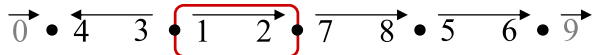
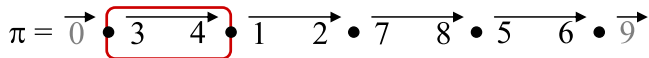
Algoritmo Guloso para Distância de Reversão sem Orientação dos Genes



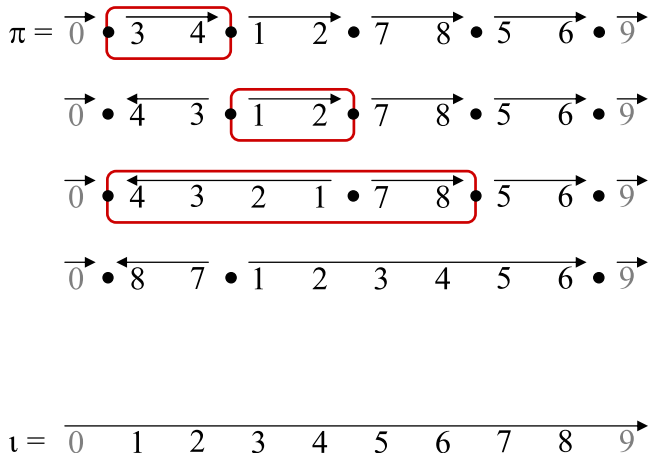
Algoritmo Guloso para Distância de Reversão sem Orientação dos Genes



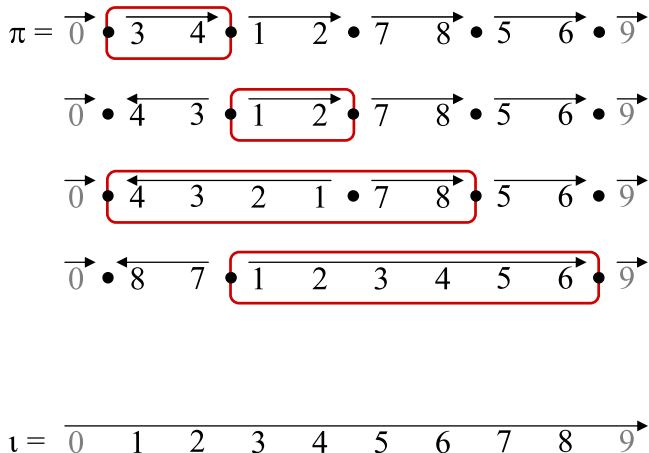
Algoritmo Guloso para Distância de Reversão sem Orientação dos Genes



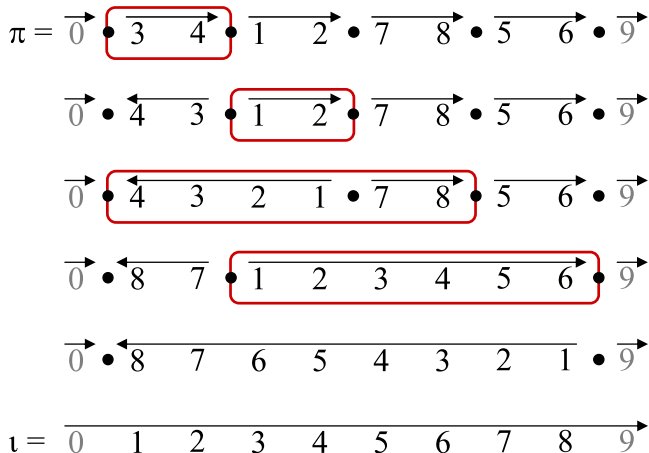
Algoritmo Guloso para Distância de Reversão sem Orientação dos Genes



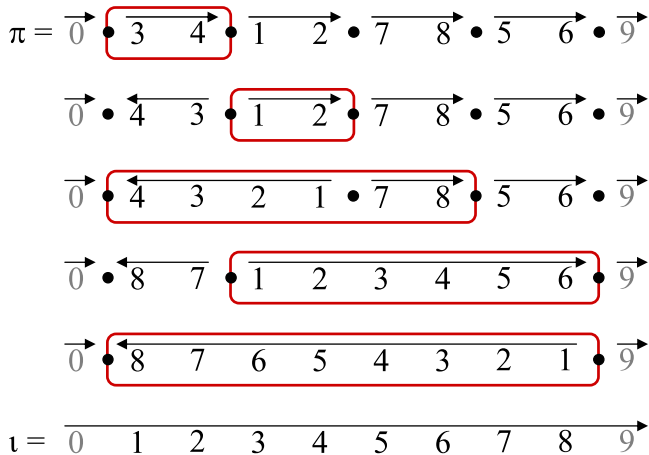
Algoritmo Guloso para Distância de Reversão sem Orientação dos Genes



Algoritmo Guloso para Distância de Reversão sem Orientação dos Genes



Algoritmo Guloso para Distância de Reversão sem Orientação dos Genes



Algoritmo Guloso para Distância de Reversão sem Orientação dos Genes

- Complexidade: $O(n^2)$.
- O algoritmo ordena qualquer permutação usando, no máximo, $b(\pi)$ reversões.
- Sendo assim, temos que:

$$\frac{b(\pi)}{2} \leq d(\pi) \leq b(\pi)$$

logo, o algoritmo guloso é um algoritmo de aproximação com fator:

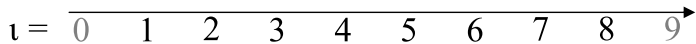
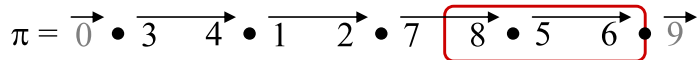
$$\frac{b(\pi)}{\frac{b(\pi)}{2}} = 2.$$

Ordenação Ótima por Reversões

$$\pi = \overrightarrow{0} \bullet \overrightarrow{3 \quad 4} \bullet \overrightarrow{1 \quad 2} \bullet \overrightarrow{7 \quad 8} \bullet \overrightarrow{5 \quad 6} \bullet \overrightarrow{9}$$

$$\iota = \overrightarrow{0 \quad 1 \quad 2 \quad 3 \quad 4 \quad 5 \quad 6 \quad 7 \quad 8 \quad 9}$$

Ordenação Ótima por Reversões



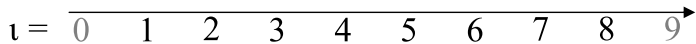
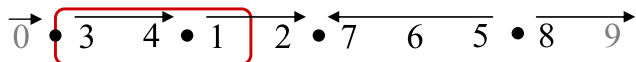
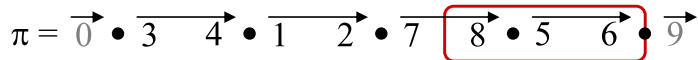
Ordenação Ótima por Reversões

$$\pi = \overrightarrow{0} \bullet \overrightarrow{3 \ 4} \bullet \overrightarrow{1 \ 2} \bullet \overrightarrow{7} \boxed{\overrightarrow{8 \ 5 \ 6}} \bullet \overrightarrow{9}$$

$$\overrightarrow{0} \bullet \overrightarrow{3 \ 4} \bullet \overrightarrow{1 \ 2} \bullet \overleftarrow{7 \ 6 \ 5} \bullet \overrightarrow{8 \ 9}$$

$$\iota = \overrightarrow{0 \ 1 \ 2 \ 3 \ 4 \ 5 \ 6 \ 7 \ 8 \ 9}$$

Ordenação Ótima por Reversões



Ordenação Ótima por Reversões

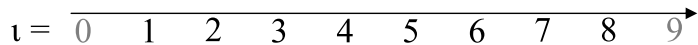
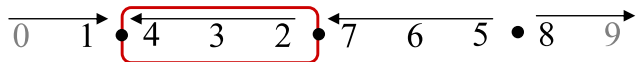
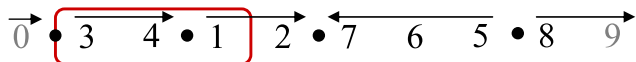
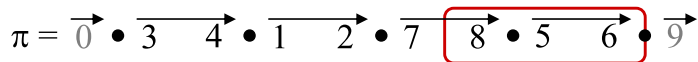
$$\pi = \overrightarrow{0} \bullet \overrightarrow{3 \ 4} \bullet \overrightarrow{1 \ 2} \bullet \overrightarrow{7} \boxed{\overrightarrow{8 \ 5 \ 6}} \bullet \overrightarrow{9}$$

$$\overrightarrow{0} \bullet \boxed{\overrightarrow{3 \ 4 \ 1}} \bullet \overrightarrow{2} \bullet \overleftarrow{7 \ 6 \ 5} \bullet \overrightarrow{8 \ 9}$$

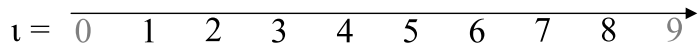
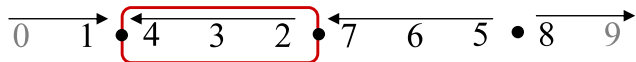
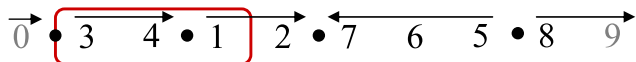
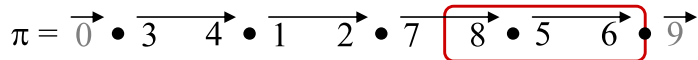
$$\overrightarrow{0 \ 1} \bullet \overleftarrow{4 \ 3 \ 2} \bullet \overleftarrow{7 \ 6 \ 5} \bullet \overrightarrow{8 \ 9}$$

$$\iota = \overrightarrow{0 \ 1 \ 2 \ 3 \ 4 \ 5 \ 6 \ 7 \ 8 \ 9}$$

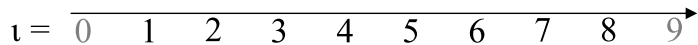
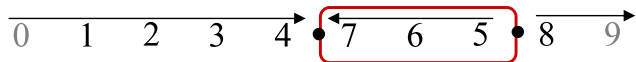
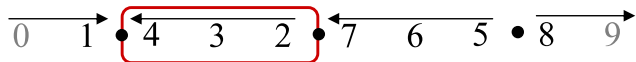
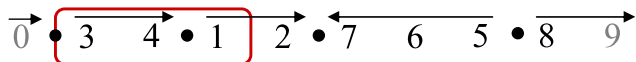
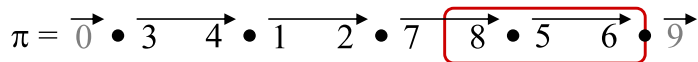
Ordenação Ótima por Reversões



Ordenação Ótima por Reversões



Ordenação Ótima por Reversões



Principais Resultados para Distância de Reversão sem Orientação dos Genes

- John Kececioglu e David Sankoff, em 1995, apresentaram o algoritmo guloso com fator de aproximação 2 e conjecturaram que o problema de distância de reversão sem orientação é \mathcal{NP} -Difícil.
- Vineet Bafna e Pavel Pevzner, em 1996, apresentaram um algoritmo com fator de aproximação 1.75.
- Alberto Caprara, em 1997, provou que o problema da distância de reversão sem orientação é \mathcal{NP} -Difícil.
- David Christie, em 1998, apresentou um algoritmo com fator de aproximação 1.5.
- Piotr Berman e Marek Karpinski, em 1999, provaram que o problema da distância de reversão sem orientação é $\mathcal{MAX-SNP}$ -Difícil.
- Piotr Berman, Sridhar Hannenhalli e Marek Karpinski, em 2002, apresentaram um algoritmo com fator de aproximação 1.375.

Ordenação por Reversões sem Orientação dos Genes com o Número Mínimo de Reversões Imposto pelo Limite Inferior de Breakpoints

- John Kececioglu e David Sankoff, em 1995, conjecturaram que o problema de decidir se uma permutação π pode ser ordenada usando exatamente $b(\pi)/2$ reversões é um problema \mathcal{NP} -Difícil.
- Nicholas Tran, em 1997, provou que é possível decidir se uma permutação π pode ser ordenada usando exatamente $b(\pi)/2$ reversões, em tempo $O(n^2 \log n)$. O algoritmo de decisão proposto é construtivo, então, em caso afirmativo, ele exhibe a sequência de reversões que ordena π .

Breakpoints e Strips para Ordenação de Panquecas

- Para o problema de Ordenação de Panquecas, definimos *breakpoints* ($b_p(\pi)$) e *strips* da mesma forma que para o problema da Distância de Reversão sem Orientação dos Genes, com uma única diferença:
 - ▶ O par (π_0, π_1) será sempre considerado um breakpoint, já que qualquer modificação na pilha de panquecas envolve uma “quebra” entre estas duas posições.
- Logo, a única permutação com apenas um *breakpoint* é a permutação identidade ($b_p(\iota) = 1$).
- Seja $\Delta_{b_p}(\pi, \rho) = b_p(\pi \cdot \rho) - b_p(\pi)$.
- Logo, $\Delta_{b_p}(\pi, \rho) \in \{-1, 0, 1\}$.
- É possível obter um limite inferior para o número de movimentos necessários para ordenar uma pilha de panquecas ($d_p(\pi)$), com base no número de *breakpoints* de uma permutação π :

$$d_p(\pi) \geq b_p(\pi) - 1$$

Algoritmos de Aproximação para Ordenação de Panquecas

Exercício

Mostre que o algoritmo guloso para o problema de Ordenação de Panquecas é um algoritmo de 4-aproximação.

Exercício

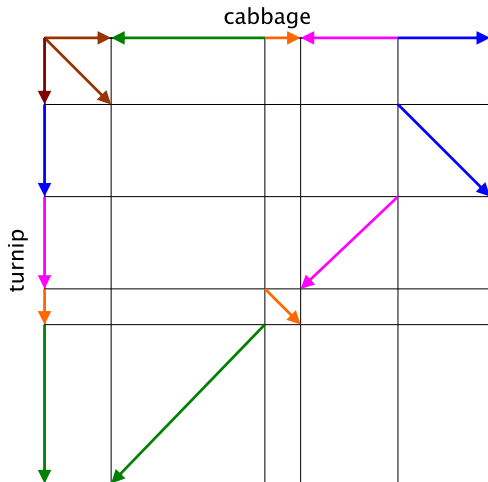
Mostre um algoritmo de 3-aproximação para o problema de Ordenação de Panquecas.

- Em 2005, Johannes Fischer e Simon Ginzinger mostraram um algoritmo de 2-aproximação para o problema de Ordenação de Panquecas.

Ordenação por Reversões com Orientação de Genes

- Podemos representar um genoma com n blocos conservados com orientação dos genes conhecidas como uma permutação com sinais, $\pi = \pi_1\pi_2 \dots \pi_n$, com $\pi_i \in \{-1, -2, \dots, -n, +1, +2, \dots, +n\}$, de tal forma que $|\pi_i| \neq |\pi_j|$, para $1 \leq i < j \leq n$.
- A reversão $\rho(i, j)$, com $1 \leq i \leq j \leq n$, reverte a ordem de $\pi[i..j]$ e os sinais de todos os elementos pertencentes a este intervalo.
- *Distância de Reversão*: dados dois genomas compostos por n blocos conservados, representados pelas permutações com sinais π e σ , calcular a distância de reversão ($d(\pi, \sigma)$) entre π e σ , ou seja, obter uma série de reversões $\rho_1, \rho_2, \dots, \rho_r$, de tamanho mínimo, tal que $d(\pi, \sigma) = r$ e $\pi \cdot \rho_1 \cdot \rho_2 \dots \rho_r = \sigma$.
- *Ordenação por Reversões*: dado um genoma composto por n blocos conservados, representado pela permutação com sinais π , calcular a distância de reversão ($d(\pi)$) entre π e a permutação identidade $\iota = (+1, +2, \dots, +n)$, ou seja, $d(\pi) = d(\pi, \iota)$.

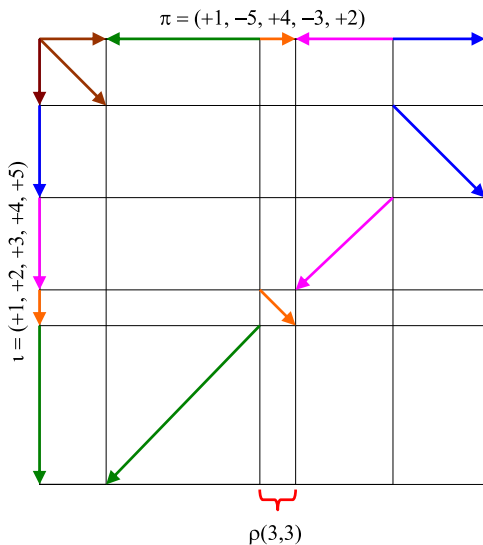
Transforming Cabbage into Turnip



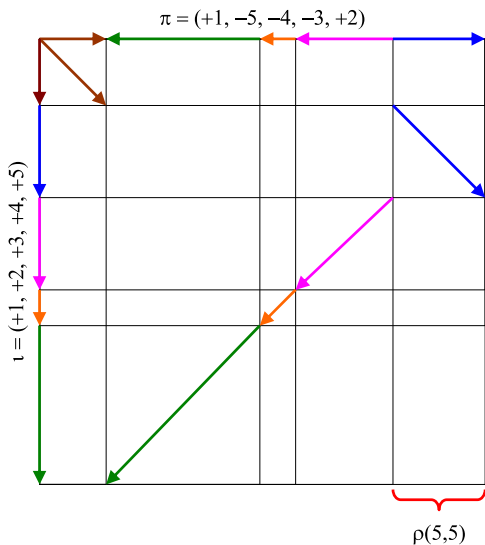
$(+1, -5, +4, -3, +2) = \pi = \text{cabbage}$

$(+1, +2, +3, +4, +5) = \iota = \text{turnip}$

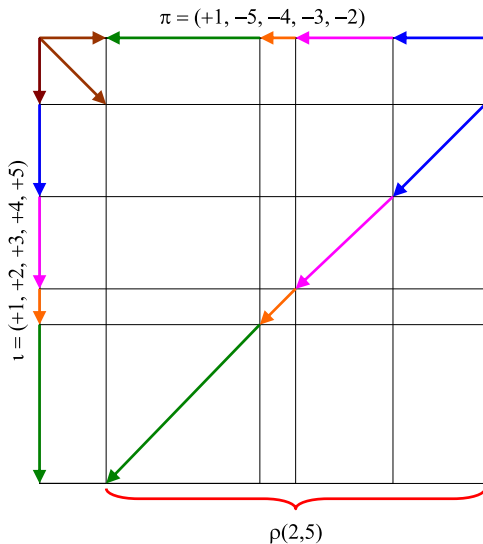
Transforming Cabbage into Turnip



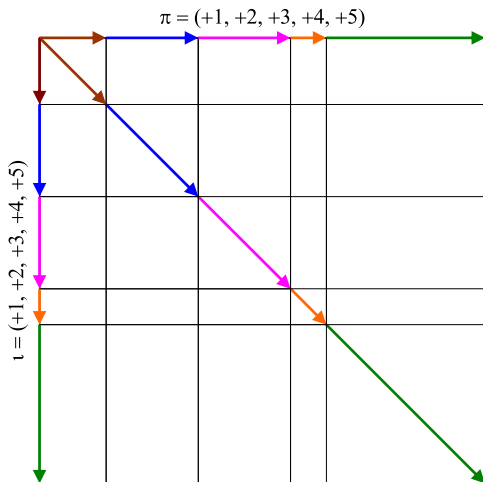
Transforming Cabbage into Turnip



Transforming Cabbage into Turnip



Transforming Cabbage into Turnip



$$((((+1, -5, +4, -3, +2) \cdot \rho(2,2)) \cdot \rho(5,5)) \cdot \rho(2,5)) = \tau$$

Breakpoints e Permutação Reduzida

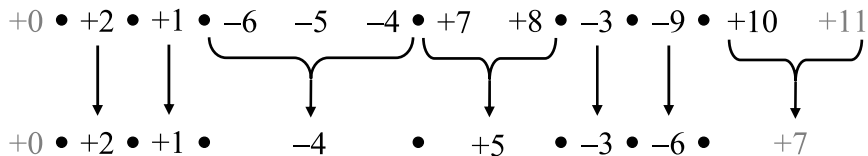
Definição

Um par de elementos π_i e π_{i+1} , para $0 \leq i \leq n$, é uma adjacência se $\pi_{i+1} - \pi_i = 1$. Caso contrário, o par de elementos é chamado de breakpoint.

Definição

Uma permutação π é chamada reduzida se ela não contém adjacências.

Permutação Reduzida



Reversão Orientada

Definição

Um par orientado (π_i, π_j) é um par de elementos de π , tal que $i < j$, $||\pi_i| - |\pi_j|| = 1$, e π_i e π_j possuem sinais distintos.

Definição

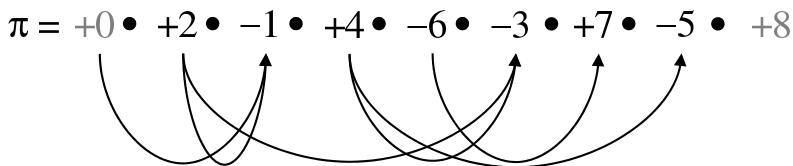
A pontuação de uma reversão ρ em relação a π , representada por $\text{score}(\pi, \rho)$, é o número de pares orientados em $\pi \cdot \rho$.

Definição

Seja (π_i, π_j) um par orientado. Logo, as seguintes reversões são chamadas orientadas:

- $\rho(i, j - 1)$, se $\pi_i + \pi_j = +1$.
- $\rho(i + 1, j)$, se $\pi_i + \pi_j = -1$.

Pares Orientados \times Reversões Orientadas



$$(+0, -1) \Rightarrow \rho(1,2)$$

$$(+4, -3) \Rightarrow \rho(3,4)$$

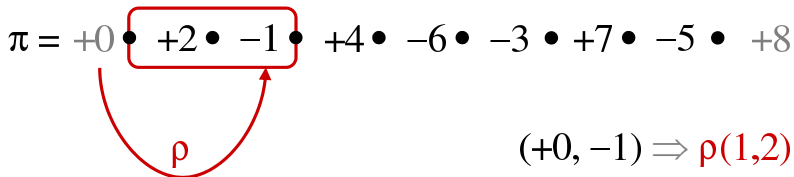
$$(+2, -1) \Rightarrow \rho(1,1)$$

$$(+4, -5) \Rightarrow \rho(4,7)$$

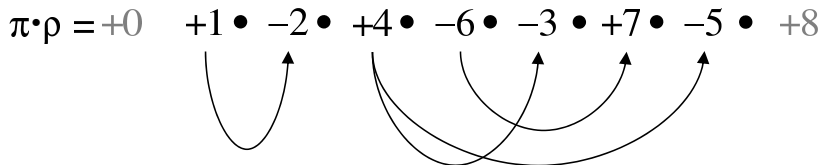
$$(+2, -3) \Rightarrow \rho(2,5)$$

$$(-6, +7) \Rightarrow \rho(4,5)$$

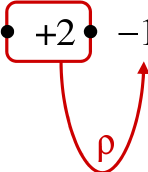
Pares Orientados \times Reversões Orientadas



$$\text{score}(\pi, \rho) = 4$$

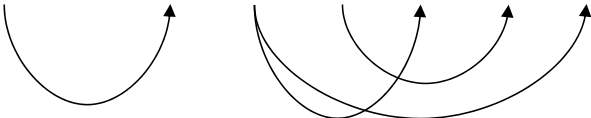


Pares Orientados \times Reversões Orientadas

$$\pi = +0 \bullet +2 \bullet -1 \bullet +4 \bullet -6 \bullet -3 \bullet +7 \bullet -5 \bullet +8$$


$(+2, -1) \Rightarrow \rho(1,1)$

$$\text{score}(\pi, \rho) = 4$$

$$\pi \cdot \rho = +0 \bullet -2 \bullet -1 \bullet +4 \bullet -6 \bullet -3 \bullet +7 \bullet -5 \bullet +8$$


Pares Orientados \times Reversões Orientadas

$$\pi = +0 \bullet +2 \bullet \boxed{-1 \bullet +4 \bullet -6 \bullet -3 \bullet} +7 \bullet -5 \bullet +8$$

$(+2, -3) \Rightarrow \rho(2,5)$

$$\text{score}(\pi, \rho) = 2$$

$$\pi \cdot \rho = +0 \bullet +2 \bullet +3 \bullet +6 \bullet -4 \bullet +1 \bullet +7 \bullet -5 \bullet +8$$

Pares Orientados \times Reversões Orientadas

$$\pi = +0 \bullet +2 \bullet -1 \bullet +4 \bullet -6 \bullet -3 \bullet +7 \bullet -5 \bullet +8$$

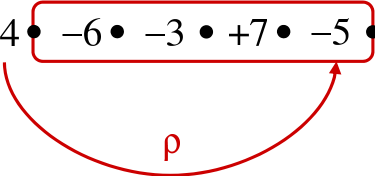

$$(+4, -3) \Rightarrow \rho(3,4)$$

$$\text{score}(\pi, \rho) = 4$$

$$\pi \cdot \rho = +0 \bullet +2 \bullet -1 \bullet +6 \bullet -4 \bullet -3 \bullet +7 \bullet -5 \bullet +8$$


Pares Orientados \times Reversões Orientadas

$\pi = +0 \bullet +2 \bullet -1 \bullet +4 \bullet -6 \bullet -3 \bullet +7 \bullet -5 \bullet +8$



$(+4, -5) \Rightarrow \rho(4,7)$

$\text{score}(\pi, \rho) = 4$

$\pi \cdot \rho = +0 \bullet +2 \bullet -1 \bullet +4 \bullet +5 \bullet -7 \bullet +3 \bullet +6 \bullet +8$



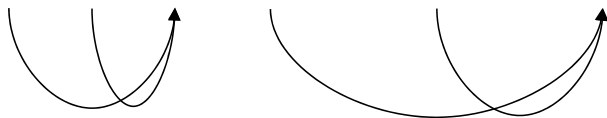
Pares Orientados \times Reversões Orientadas

$$\pi = +0 \bullet +2 \bullet -1 \bullet +4 \bullet \boxed{-6 \bullet -3 \bullet} +7 \bullet -5 \bullet +8$$

$$(-6, +7) \Rightarrow \rho(4,5)$$

$$\text{score}(\pi, \rho) = 4$$

$$\pi \cdot \rho = +0 \bullet +2 \bullet -1 \bullet +4 \bullet +3 \bullet +6 \bullet +7 \bullet -5 \bullet +8$$



Pares Orientados \times Reversões Orientadas

Lema

Uma reversão ρ é orientada em relação a π se e somente se $\Delta_b(\pi, \rho) < 0$.

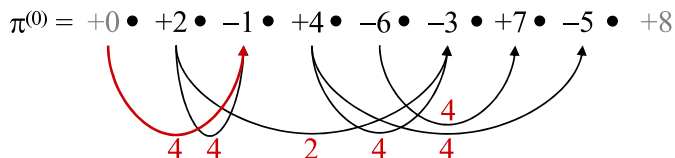
Teorema

Seja $\pi^{(i)}$ uma permutação que contém pelo menos um par orientado. Seja ρ_i uma reversão orientada de score máximo em relação a $\pi^{(i)}$. Defina $\pi^{(i+1)}$ como $\pi^{(i+1)} = (\pi^{(i)} \cdot \rho_i)$. Seja $\pi^{(1)}, \pi^{(2)}, \dots, \pi^{(k)}$ uma série maximal de permutações gerada a partir de $\pi^{(0)}$. Logo $\pi^{(k)}$ é formada apenas por elementos positivos e $d(\pi^{(0)}, \pi^{(k)}) = k$.

Ordenação Usando Apenas Pares Orientados

$$\pi^{(0)} = +0 \bullet +2 \bullet -1 \bullet +4 \bullet -6 \bullet -3 \bullet +7 \bullet -5 \bullet +8$$

Ordenação Usando Apenas Pares Orientados



Ordenação Usando Apenas Pares Orientados

$$\pi^{(0)} = +0 \bullet +2 \bullet -1 \bullet +4 \bullet -6 \bullet -3 \bullet +7 \bullet -5 \bullet +8$$

Ordenação Usando Apenas Pares Orientados

$$\pi^{(0)} = +0 \bullet +2 \bullet -1 \bullet +4 \bullet -6 \bullet -3 \bullet +7 \bullet -5 \bullet +8$$

$$\pi^{(1)} = +0 \quad +1 \bullet -2 \bullet +4 \bullet -6 \bullet -3 \bullet +7 \bullet -5 \bullet +8$$

Ordenação Usando Apenas Pares Orientados

$\pi^{(0)} = +0 \bullet +2 \bullet -1 \bullet +4 \bullet -6 \bullet -3 \bullet +7 \bullet -5 \bullet +8$

$\pi^{(1)} = +0 \bullet +1 \bullet -2 \bullet +4 \bullet -6 \bullet -3 \bullet +7 \bullet -5 \bullet +8$

Diagram illustrating the transformation from $\pi^{(0)}$ to $\pi^{(1)}$ using oriented pairs. The elements $+2$ and -1 in $\pi^{(0)}$ are boxed. In $\pi^{(1)}$, the elements $+1$ and -2 are connected by a black arc labeled 3. The elements $+4$, -6 , -3 , $+7$, and -5 are connected by a series of overlapping arcs: a red arc from $+4$ to -5 labeled 2, a black arc from -6 to -3 labeled 3, a black arc from -3 to $+7$ labeled 4, and a red arc from $+4$ to $+7$.

Ordenação Usando Apenas Pares Orientados

$$\pi^{(0)} = +0 \bullet +2 \bullet -1 \bullet +4 \bullet -6 \bullet -3 \bullet +7 \bullet -5 \bullet +8$$

$$\pi^{(1)} = +0 \quad +1 \bullet -2 \bullet +4 \bullet -6 \bullet -3 \bullet +7 \bullet -5 \bullet +8$$

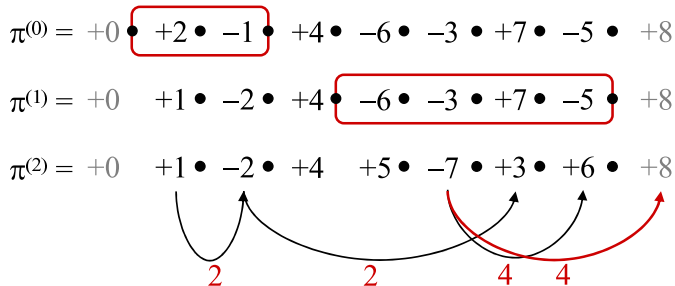
Ordenação Usando Apenas Pares Orientados

$$\pi^{(0)} = +0 \bullet +2 \bullet -1 \bullet +4 \bullet -6 \bullet -3 \bullet +7 \bullet -5 \bullet +8$$

$$\pi^{(1)} = +0 \quad +1 \bullet -2 \bullet +4 \bullet -6 \bullet -3 \bullet +7 \bullet -5 \bullet +8$$

$$\pi^{(2)} = +0 \quad +1 \bullet -2 \bullet +4 \quad +5 \bullet -7 \bullet +3 \bullet +6 \bullet +8$$

Ordenação Usando Apenas Pares Orientados



Ordenação Usando Apenas Pares Orientados

$$\pi^{(0)} = +0 \bullet +2 \bullet -1 \bullet +4 \bullet -6 \bullet -3 \bullet +7 \bullet -5 \bullet +8$$

$$\pi^{(1)} = +0 \quad +1 \bullet -2 \bullet +4 \bullet -6 \bullet -3 \bullet +7 \bullet -5 \bullet +8$$

$$\pi^{(2)} = +0 \quad +1 \bullet -2 \bullet +4 \quad +5 \bullet -7 \bullet +3 \bullet +6 \bullet +8$$

Ordenação Usando Apenas Pares Orientados

$$\pi^{(0)} = +0 \bullet +2 \bullet -1 \bullet +4 \bullet -6 \bullet -3 \bullet +7 \bullet -5 \bullet +8$$

$$\pi^{(1)} = +0 \quad +1 \bullet -2 \bullet +4 \bullet -6 \bullet -3 \bullet +7 \bullet -5 \bullet +8$$

$$\pi^{(2)} = +0 \quad +1 \bullet -2 \bullet +4 \quad +5 \bullet -7 \bullet +3 \bullet +6 \bullet +8$$

$$\pi^{(3)} = +0 \quad +1 \bullet -2 \bullet +4 \quad +5 \bullet -6 \bullet -3 \bullet +7 \quad +8$$

Ordenação Usando Apenas Pares Orientados

$$\pi^{(0)} = +0 \bullet +2 \bullet -1 \bullet +4 \bullet -6 \bullet -3 \bullet +7 \bullet -5 \bullet +8$$

$$\pi^{(1)} = +0 \quad +1 \bullet -2 \bullet +4 \bullet -6 \bullet -3 \bullet +7 \bullet -5 \bullet +8$$

$$\pi^{(2)} = +0 \quad +1 \bullet -2 \bullet +4 \quad +5 \bullet -7 \bullet +3 \bullet +6 \bullet +8$$

$$\pi^{(3)} = +0 \quad +1 \bullet -2 \bullet +4 \quad +5 \bullet -6 \bullet -3 \bullet +7 \quad +8$$

The diagram illustrates the sorting process using oriented pairs. In $\pi^{(3)}$, a red arc connects the elements +1 and -2, with a red number 4 below it. Three black arcs connect the elements +4, -6, -3, and +7. The first black arc connects +4 to -6, the second connects -6 to -3, and the third connects -3 to +7. Each black arc has a red number 2 below it.

Ordenação Usando Apenas Pares Orientados

$$\pi^{(0)} = +0 \bullet +2 \bullet -1 \bullet +4 \bullet -6 \bullet -3 \bullet +7 \bullet -5 \bullet +8$$

$$\pi^{(1)} = +0 \quad +1 \bullet -2 \bullet +4 \bullet -6 \bullet -3 \bullet +7 \bullet -5 \bullet +8$$

$$\pi^{(2)} = +0 \quad +1 \bullet -2 \bullet +4 \quad +5 \bullet -7 \bullet +3 \bullet +6 \bullet +8$$

$$\pi^{(3)} = +0 \quad +1 \bullet -2 \bullet +4 \quad +5 \bullet -6 \bullet -3 \bullet +7 \quad +8$$

Ordenação Usando Apenas Pares Orientados

$$\pi^{(0)} = +0 \bullet +2 \bullet -1 \bullet +4 \bullet -6 \bullet -3 \bullet +7 \bullet -5 \bullet +8$$

$$\pi^{(1)} = +0 \quad +1 \bullet -2 \bullet +4 \bullet -6 \bullet -3 \bullet +7 \bullet -5 \bullet +8$$

$$\pi^{(2)} = +0 \quad +1 \bullet -2 \bullet +4 \quad +5 \bullet -7 \bullet +3 \bullet +6 \bullet +8$$

$$\pi^{(3)} = +0 \quad +1 \bullet -2 \bullet +4 \quad +5 \bullet -6 \bullet -3 \bullet +7 \quad +8$$

$$\pi^{(4)} = +0 \quad +1 \quad +2 \bullet +4 \quad +5 \bullet -6 \bullet -3 \bullet +7 \quad +8$$

Ordenação Usando Apenas Pares Orientados

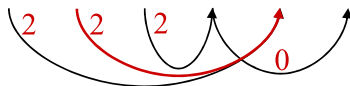
$$\pi^{(0)} = +0 \bullet +2 \bullet -1 \bullet +4 \bullet -6 \bullet -3 \bullet +7 \bullet -5 \bullet +8$$

$$\pi^{(1)} = +0 \quad +1 \bullet -2 \bullet +4 \bullet -6 \bullet -3 \bullet +7 \bullet -5 \bullet +8$$

$$\pi^{(2)} = +0 \quad +1 \bullet -2 \bullet +4 \quad +5 \bullet -7 \bullet +3 \bullet +6 \bullet +8$$

$$\pi^{(3)} = +0 \quad +1 \bullet -2 \bullet +4 \quad +5 \bullet -6 \bullet -3 \bullet +7 \quad +8$$

$$\pi^{(4)} = +0 \quad +1 \quad +2 \bullet +4 \quad +5 \bullet -6 \bullet -3 \bullet +7 \quad +8$$



Ordenação Usando Apenas Pares Orientados

$$\pi^{(0)} = +0 \bullet +2 \bullet -1 \bullet +4 \bullet -6 \bullet -3 \bullet +7 \bullet -5 \bullet +8$$

$$\pi^{(1)} = +0 \quad +1 \bullet -2 \bullet +4 \bullet -6 \bullet -3 \bullet +7 \bullet -5 \bullet +8$$

$$\pi^{(2)} = +0 \quad +1 \bullet -2 \bullet +4 \quad +5 \bullet -7 \bullet +3 \bullet +6 \bullet +8$$

$$\pi^{(3)} = +0 \quad +1 \bullet -2 \bullet +4 \quad +5 \bullet -6 \bullet -3 \bullet +7 \quad +8$$

$$\pi^{(4)} = +0 \quad +1 \quad +2 \bullet +4 \quad +5 \bullet -6 \bullet -3 \bullet +7 \quad +8$$

Ordenação Usando Apenas Pares Orientados

$$\pi^{(0)} = +0 \bullet +2 \bullet -1 \bullet +4 \bullet -6 \bullet -3 \bullet +7 \bullet -5 \bullet +8$$

$$\pi^{(1)} = +0 \quad +1 \bullet -2 \bullet +4 \bullet -6 \bullet -3 \bullet +7 \bullet -5 \bullet +8$$

$$\pi^{(2)} = +0 \quad +1 \bullet -2 \bullet +4 \quad +5 \bullet -7 \bullet +3 \bullet +6 \bullet +8$$

$$\pi^{(3)} = +0 \quad +1 \bullet -2 \bullet +4 \quad +5 \bullet -6 \bullet -3 \bullet +7 \quad +8$$

$$\pi^{(4)} = +0 \quad +1 \quad +2 \bullet +4 \quad +5 \bullet -6 \bullet -3 \bullet +7 \quad +8$$

$$\pi^{(5)} = +0 \quad +1 \quad +2 \bullet +6 \bullet -5 \quad -4 \quad -3 \bullet +7 \quad +8$$

Ordenação Usando Apenas Pares Orientados

$$\pi^{(0)} = +0 \bullet +2 \bullet -1 \bullet +4 \bullet -6 \bullet -3 \bullet +7 \bullet -5 \bullet +8$$

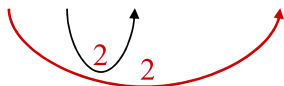
$$\pi^{(1)} = +0 \quad +1 \bullet -2 \bullet +4 \bullet -6 \bullet -3 \bullet +7 \bullet -5 \bullet +8$$

$$\pi^{(2)} = +0 \quad +1 \bullet -2 \bullet +4 \quad +5 \bullet -7 \bullet +3 \bullet +6 \bullet +8$$

$$\pi^{(3)} = +0 \quad +1 \bullet -2 \bullet +4 \quad +5 \bullet -6 \bullet -3 \bullet +7 \quad +8$$

$$\pi^{(4)} = +0 \quad +1 \quad +2 \bullet +4 \quad +5 \bullet -6 \bullet -3 \bullet +7 \quad +8$$

$$\pi^{(5)} = +0 \quad +1 \quad +2 \bullet +6 \bullet -5 \quad -4 \quad -3 \bullet +7 \quad +8$$



Ordenação Usando Apenas Pares Orientados

$$\pi^{(0)} = +0 \bullet +2 \bullet -1 \bullet +4 \bullet -6 \bullet -3 \bullet +7 \bullet -5 \bullet +8$$

$$\pi^{(1)} = +0 \quad +1 \bullet -2 \bullet +4 \bullet -6 \bullet -3 \bullet +7 \bullet -5 \bullet +8$$

$$\pi^{(2)} = +0 \quad +1 \bullet -2 \bullet +4 \quad +5 \bullet -7 \bullet +3 \bullet +6 \bullet +8$$

$$\pi^{(3)} = +0 \quad +1 \bullet -2 \bullet +4 \quad +5 \bullet -6 \bullet -3 \bullet +7 \quad +8$$

$$\pi^{(4)} = +0 \quad +1 \quad +2 \bullet +4 \quad +5 \bullet -6 \bullet -3 \bullet +7 \quad +8$$

$$\pi^{(5)} = +0 \quad +1 \quad +2 \bullet +6 \bullet -5 \quad -4 \quad -3 \bullet +7 \quad +8$$

Ordenação Usando Apenas Pares Orientados

$$\pi^{(0)} = +0 \bullet +2 \bullet -1 \bullet +4 \bullet -6 \bullet -3 \bullet +7 \bullet -5 \bullet +8$$

$$\pi^{(1)} = +0 \quad +1 \bullet -2 \bullet +4 \bullet -6 \bullet -3 \bullet +7 \bullet -5 \bullet +8$$

$$\pi^{(2)} = +0 \quad +1 \bullet -2 \bullet +4 \quad +5 \bullet -7 \bullet +3 \bullet +6 \bullet +8$$

$$\pi^{(3)} = +0 \quad +1 \bullet -2 \bullet +4 \quad +5 \bullet -6 \bullet -3 \bullet +7 \quad +8$$

$$\pi^{(4)} = +0 \quad +1 \quad +2 \bullet +4 \quad +5 \bullet -6 \bullet -3 \bullet +7 \quad +8$$

$$\pi^{(5)} = +0 \quad +1 \quad +2 \bullet +6 \bullet -5 \quad -4 \quad -3 \bullet +7 \quad +8$$

$$\pi^{(6)} = +0 \quad +1 \quad +2 \quad +3 \quad +4 \quad +5 \bullet -6 \bullet +7 \quad +8$$

Ordenação Usando Apenas Pares Orientados

$$\pi^{(0)} = +0 \bullet +2 \bullet -1 \bullet +4 \bullet -6 \bullet -3 \bullet +7 \bullet -5 \bullet +8$$

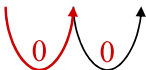
$$\pi^{(1)} = +0 \quad +1 \bullet -2 \bullet +4 \bullet -6 \bullet -3 \bullet +7 \bullet -5 \bullet +8$$

$$\pi^{(2)} = +0 \quad +1 \bullet -2 \bullet +4 \quad +5 \bullet -7 \bullet +3 \bullet +6 \bullet +8$$

$$\pi^{(3)} = +0 \quad +1 \bullet -2 \bullet +4 \quad +5 \bullet -6 \bullet -3 \bullet +7 \quad +8$$

$$\pi^{(4)} = +0 \quad +1 \quad +2 \bullet +4 \quad +5 \bullet -6 \bullet -3 \bullet +7 \quad +8$$

$$\pi^{(5)} = +0 \quad +1 \quad +2 \bullet +6 \bullet -5 \quad -4 \quad -3 \bullet +7 \quad +8$$

$$\pi^{(6)} = +0 \quad +1 \quad +2 \quad +3 \quad +4 \quad +5 \bullet -6 \bullet +7 \quad +8$$


Ordenação Usando Apenas Pares Orientados

$$\pi^{(0)} = +0 \bullet +2 \bullet -1 \bullet +4 \bullet -6 \bullet -3 \bullet +7 \bullet -5 \bullet +8$$

$$\pi^{(1)} = +0 \quad +1 \bullet -2 \bullet +4 \bullet -6 \bullet -3 \bullet +7 \bullet -5 \bullet +8$$

$$\pi^{(2)} = +0 \quad +1 \bullet -2 \bullet +4 \quad +5 \bullet -7 \bullet +3 \bullet +6 \bullet +8$$

$$\pi^{(3)} = +0 \quad +1 \bullet -2 \bullet +4 \quad +5 \bullet -6 \bullet -3 \bullet +7 \quad +8$$

$$\pi^{(4)} = +0 \quad +1 \quad +2 \bullet +4 \quad +5 \bullet -6 \bullet -3 \bullet +7 \quad +8$$

$$\pi^{(5)} = +0 \quad +1 \quad +2 \bullet +6 \bullet -5 \quad -4 \quad -3 \bullet +7 \quad +8$$

$$\pi^{(6)} = +0 \quad +1 \quad +2 \quad +3 \quad +4 \quad +5 \bullet -6 \bullet +7 \quad +8$$

Ordenação Usando Apenas Pares Orientados

$$\pi^{(0)} = +0 \bullet +2 \bullet -1 \bullet +4 \bullet -6 \bullet -3 \bullet +7 \bullet -5 \bullet +8$$

$$\pi^{(1)} = +0 \quad +1 \bullet -2 \bullet +4 \bullet -6 \bullet -3 \bullet +7 \bullet -5 \bullet +8$$

$$\pi^{(2)} = +0 \quad +1 \bullet -2 \bullet +4 \quad +5 \bullet -7 \bullet +3 \bullet +6 \bullet +8$$

$$\pi^{(3)} = +0 \quad +1 \bullet -2 \bullet +4 \quad +5 \bullet -6 \bullet -3 \bullet +7 \quad +8$$

$$\pi^{(4)} = +0 \quad +1 \quad +2 \bullet +4 \quad +5 \bullet -6 \bullet -3 \bullet +7 \quad +8$$

$$\pi^{(5)} = +0 \quad +1 \quad +2 \bullet +6 \bullet -5 \quad -4 \quad -3 \bullet +7 \quad +8$$

$$\pi^{(6)} = +0 \quad +1 \quad +2 \quad +3 \quad +4 \quad +5 \bullet -6 \bullet +7 \quad +8$$

$$\pi^{(7)} = +0 \quad +1 \quad +2 \quad +3 \quad +4 \quad +5 \quad +6 \quad +7 \quad +8$$

Ordenação Usando Apenas Pares Orientados

$$\pi^{(0)} = +0 \bullet +2 \bullet -1 \bullet +4 \bullet -6 \bullet -3 \bullet +7 \bullet -5 \bullet +8$$

$$\pi^{(1)} = +0 \quad +1 \bullet -2 \bullet +4 \bullet -6 \bullet -3 \bullet +7 \bullet -5 \bullet +8$$

$$\pi^{(2)} = +0 \quad +1 \bullet -2 \bullet +4 \quad +5 \bullet -7 \bullet +3 \bullet +6 \bullet +8$$

$$\pi^{(3)} = +0 \quad +1 \bullet -2 \bullet +4 \quad +5 \bullet -6 \bullet -3 \bullet +7 \quad +8$$

$$\pi^{(4)} = +0 \quad +1 \quad +2 \bullet +4 \quad +5 \bullet -6 \bullet -3 \bullet +7 \quad +8$$

$$\pi^{(5)} = +0 \quad +1 \quad +2 \bullet +6 \bullet -5 \quad -4 \quad -3 \bullet +7 \quad +8$$

$$\pi^{(6)} = +0 \quad +1 \quad +2 \quad +3 \quad +4 \quad +5 \bullet -6 \bullet +7 \quad +8$$

$$\iota = +0 \quad +1 \quad +2 \quad +3 \quad +4 \quad +5 \quad +6 \quad +7 \quad +8$$

Hurdles

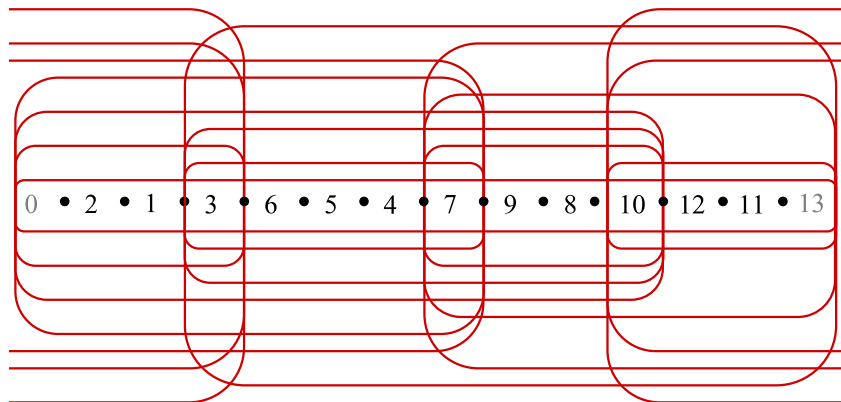
Definição

Seja π uma permutação reduzida formada apenas por elementos positivos (logo, sem pares orientados). Suponha que π foi estendida, com $\pi_0 = 0$ e $\pi_{n+1} = n + 1$, e circularizada, considerando que o elemento 0 é consecutivo ao elemento $n + 1$. Um framed interval em π é um intervalo da forma $i \pi_{j+1} \pi_{j+2} \dots \pi_{j+k-1} i + k$, tal que todos inteiros entre i e $i + k$ pertencem ao intervalo $[i..i + k]$ (considerado de forma circular).

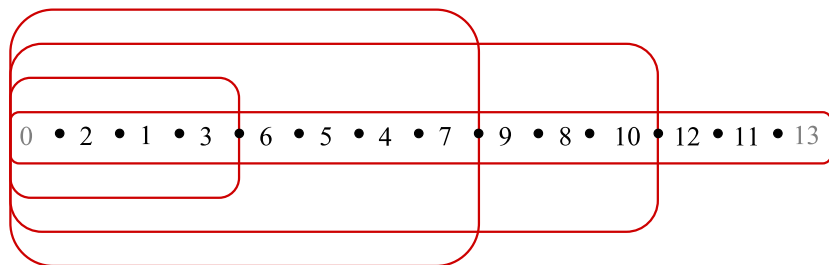
Definição

Seja π uma permutação reduzida formada apenas por elementos positivos. Um hurdle em π é um framed interval que não contém outros framed intervals.

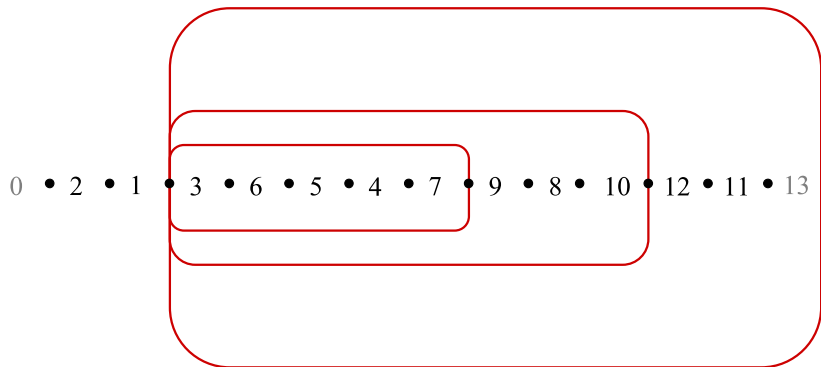
Framed Intervals



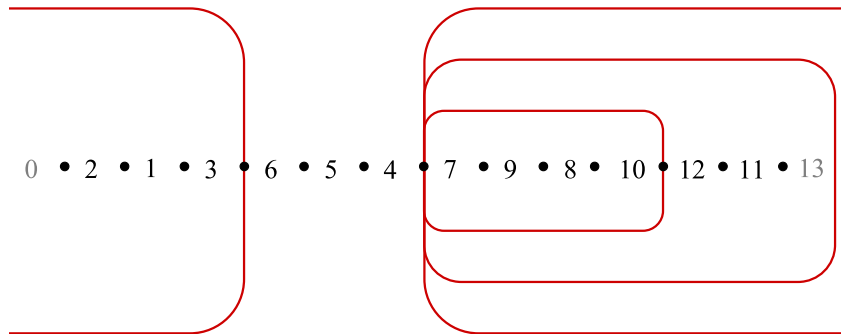
Framed Intervals



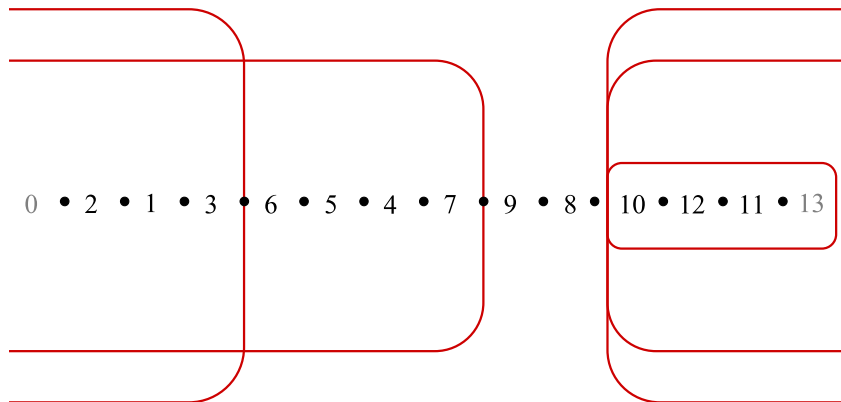
Framed Intervals



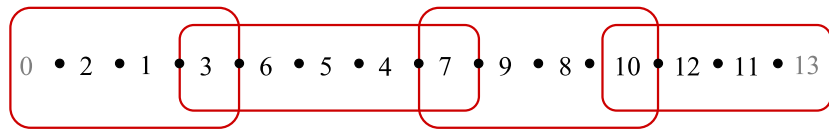
Framed Intervals



Framed Intervals



Hurdles



Hurdles

Definição

A posição do elemento j na permutação π é indicada por π_j^{-1} .

Definição

Uma reversão ρ corta um hurdle $i \pi_{j+1} \pi_{j+2} \dots i+1 \dots \pi_{j+k-1} i+k$ se $\rho = \rho(\pi_i^{-1} + 1, \pi_{i+1}^{-1} - 1)$, ou seja, se reverte os elementos entre i e $i+1$.

Definição

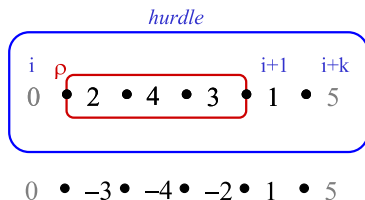
Uma reversão ρ une dois hurdles $i \dots i+k \dots i' \dots i'+k'$ da permutação π se $\rho = \rho(\pi_{i+k}^{-1}, \pi_{i'}^{-1})$, ou seja, se reverte os elementos entre $i+k$ e i' (inclusive ambos).

Definição

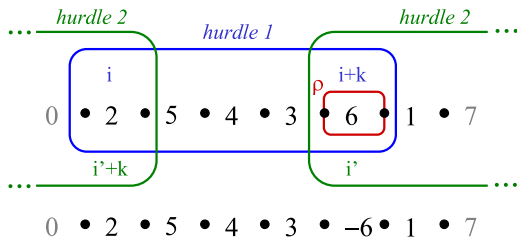
Um hurdle é chamado de simples se quando cortado o número de hurdles diminui. Caso contrário, o hurdle é chamado de super.

Cutting Hurdles × Merging Hurdles

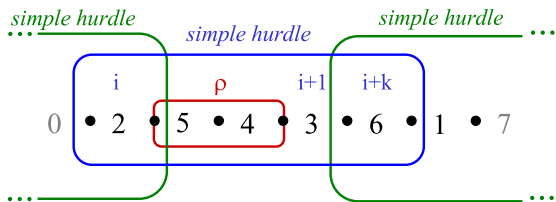
*Cutting
Hurdles*



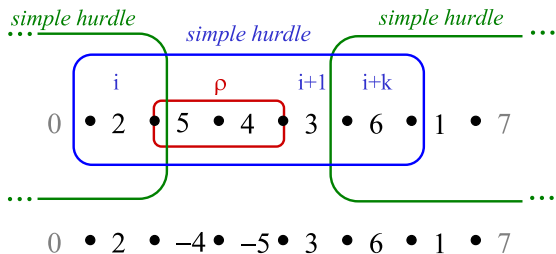
*Merging
Hurdles*



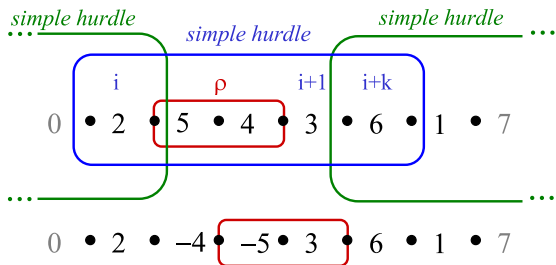
Simple Hurdle



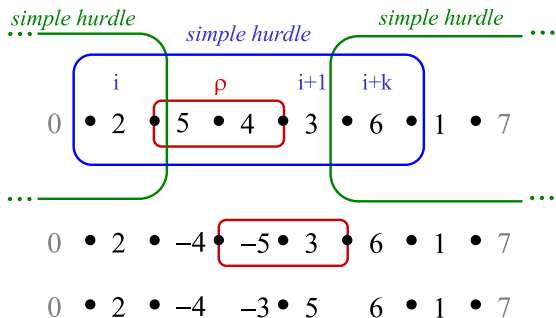
Simple Hurdle



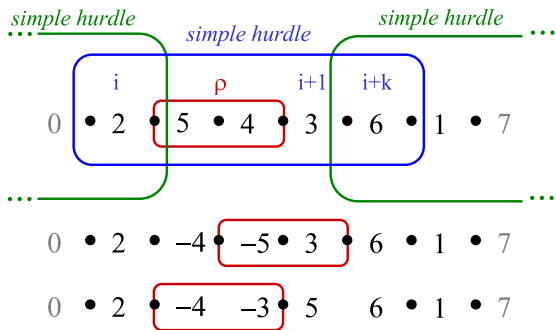
Simple Hurdle



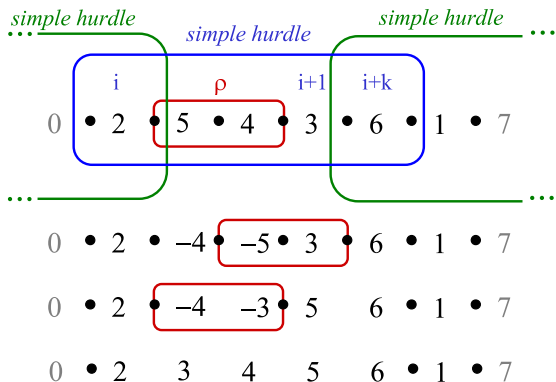
Simple Hurdle



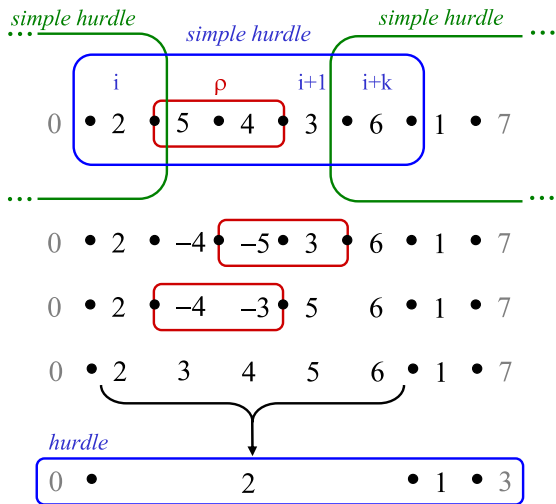
Simple Hurdle



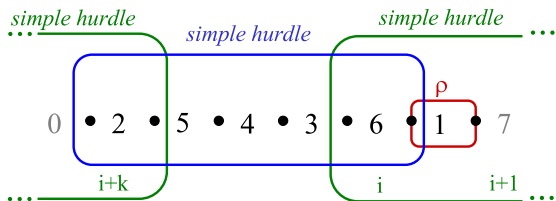
Simple Hurdle



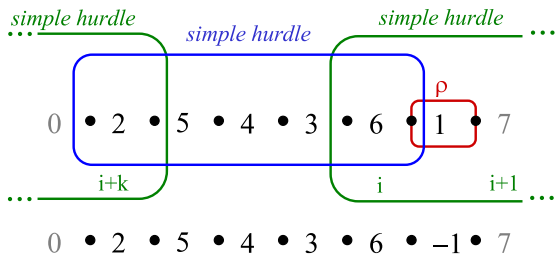
Simple Hurdle



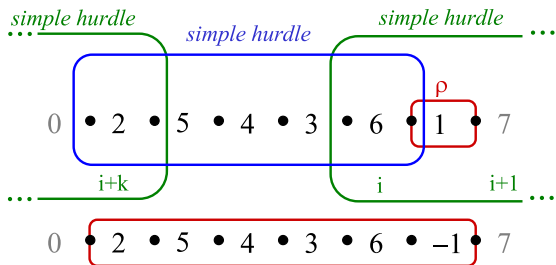
Simple Hurdle



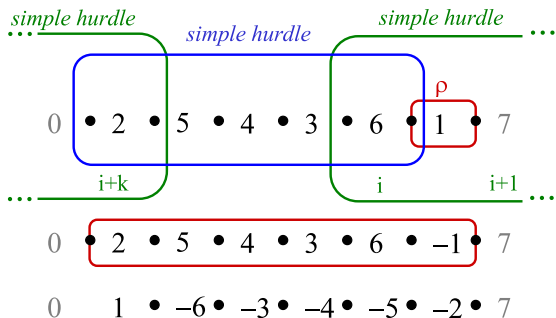
Simple Hurdle



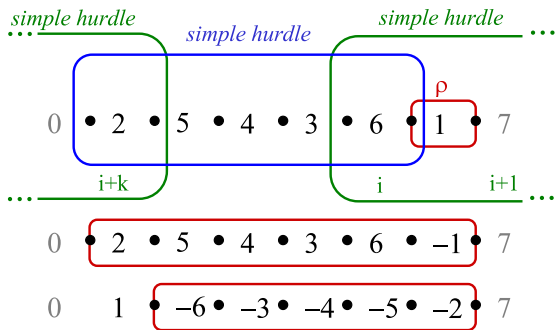
Simple Hurdle



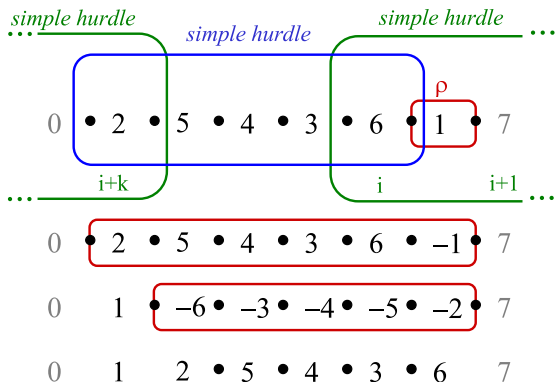
Simple Hurdle



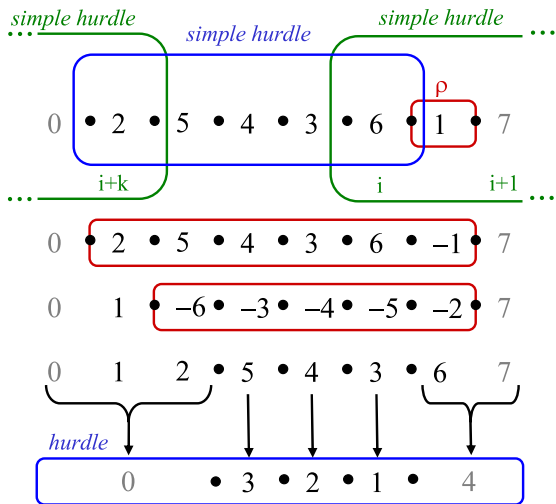
Simple Hurdle



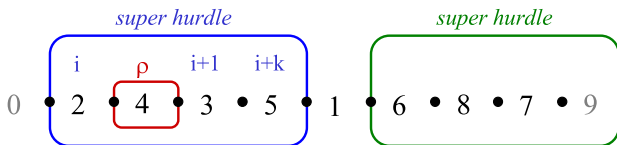
Simple Hurdle



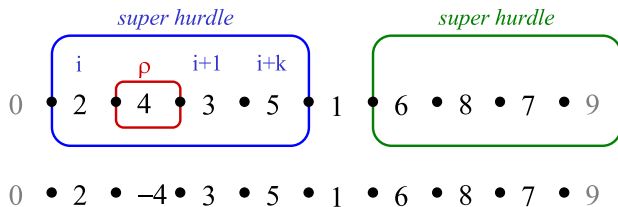
Simple Hurdle



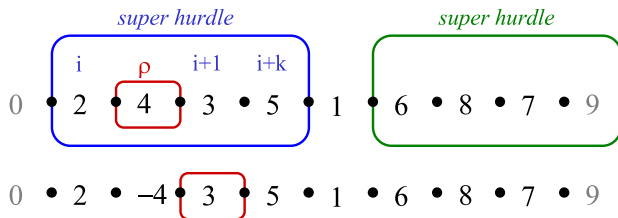
Super Hurdle



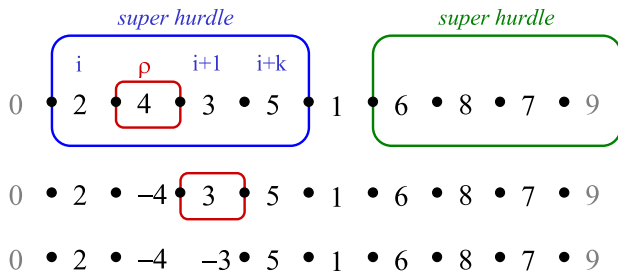
Super Hurdle



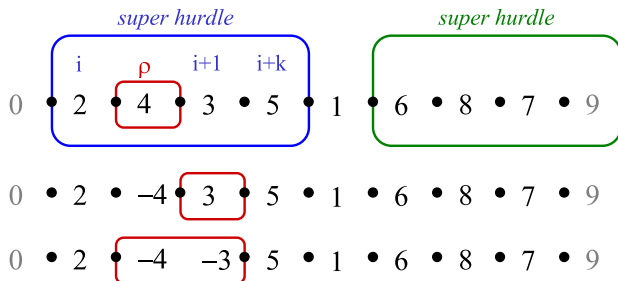
Super Hurdle



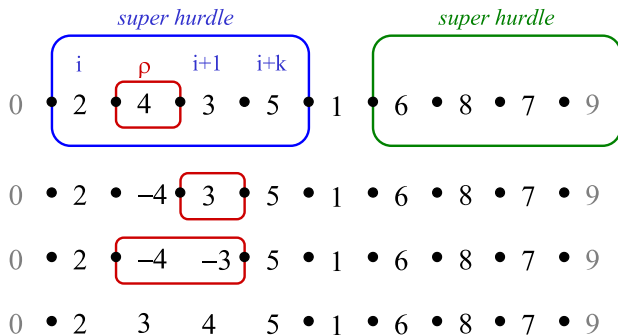
Super Hurdle



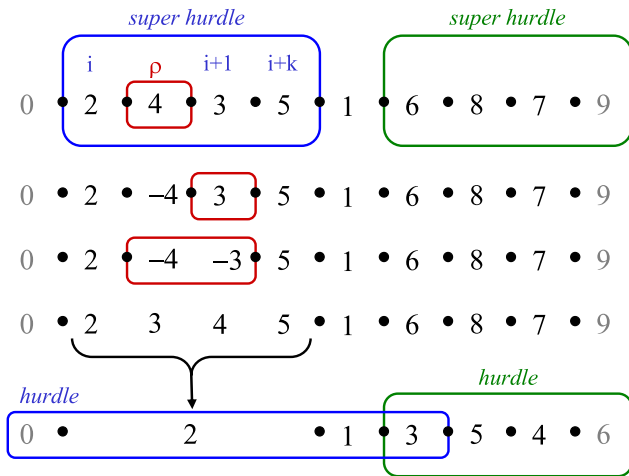
Super Hurdle



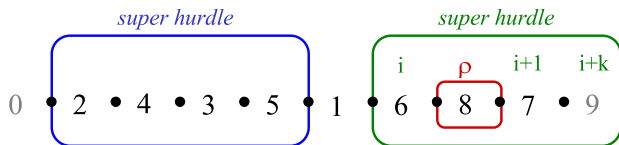
Super Hurdle



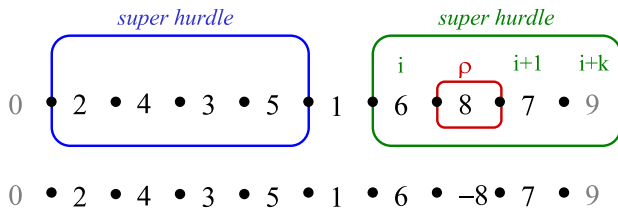
Super Hurdle



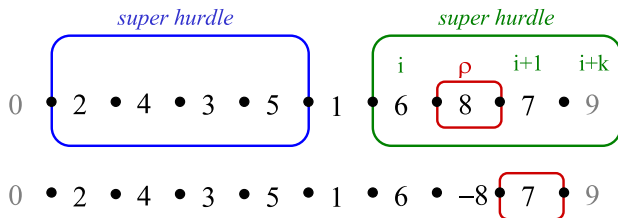
Super Hurdle



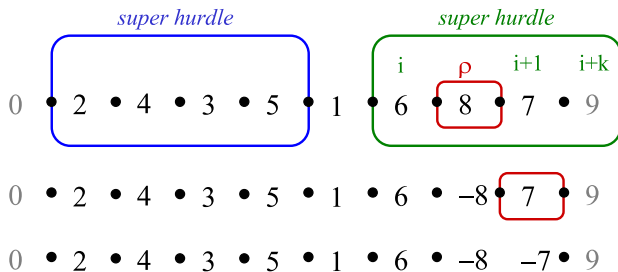
Super Hurdle



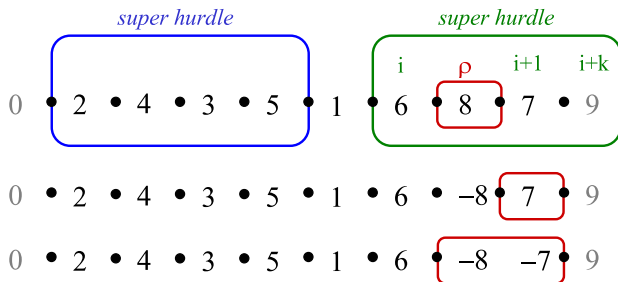
Super Hurdle



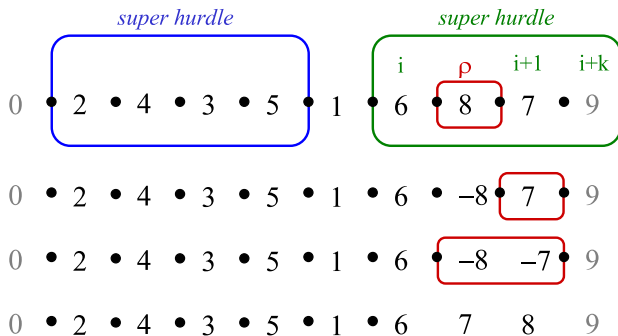
Super Hurdle



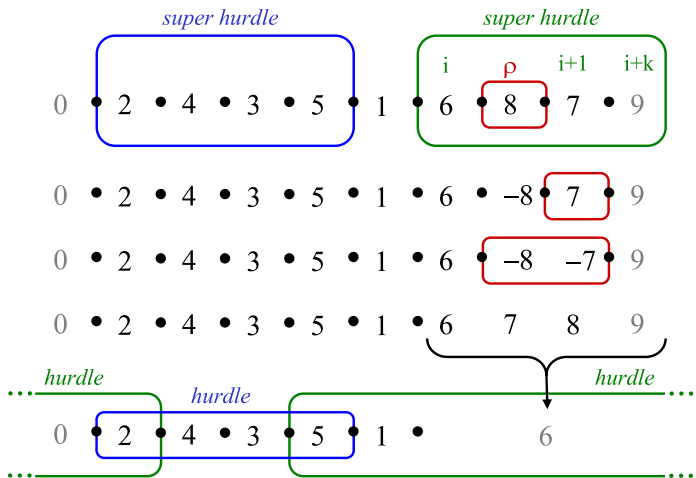
Super Hurdle



Super Hurdle



Super Hurdle



Algoritmo para Ordenação por Reversões com Orientação de Genes

Algoritmo 4: Optimal Sorting by Reversal

Input: π, n

$r \leftarrow 0$

while $\pi \neq \iota$ **do**

if π has a oriented pair **then** $\rho \leftarrow$ the reversal that has maximal score ;

else

if π has $2k$ hurdles **then**

if π has 2 hurdles **then** $\rho \leftarrow$ the reversal that merges the two hurdles ;

else $\rho \leftarrow$ any reversal that merges two non-consecutives hurdles ;

end

else if π has only one hurdle **then** $\rho \leftarrow$ the reversal that cuts the hurdle ;

else if π has a simple hurdle **then** $\rho \leftarrow$ any reversal that cuts a simple hurdle ;

else if π has 3 hurdles **then** $\rho \leftarrow$ any reversal that merges two hurdles ;

else $\rho \leftarrow$ any reversal that merges two non-consecutives hurdles ;

end

$\pi \leftarrow \pi \cdot \rho$

$r \leftarrow r + 1$

end

return r

Algoritmo para Ordenação por Reversões com Orientação de Genes

- Complexidade:
 - ▶ Determinar todos os pares orientados de uma permutação: $O(n)$.
 - ▶ Determinar a reversão com maior *score*: $O(n^2)$.
 - ▶ Determinar todos os *hurdles*: $O(n^2)$.
 - ▶ Total: $O(n) \times O(n^2) = O(n^3)$.
- Algoritmo proposto por Anne Bergeron, em 2004.
- O problema da distância de reversão com orientação de genes foi originalmente resolvido em tempo polinomial ($O(n^4)$) por Sridhar Hannenhalli e Pavel Pevzner, em 1999.
- David Bader, Bernard Moret e Mi Yan, em 2001, mostraram que é possível calcular a distância de reversão com orientação de genes conhecida (sem listar as reversões utilizadas), em $O(n)$.
- Em 2007, Eric Tannier, Anne Bergeron e Marie-France Sagot mostraram como computar uma sequência mínima de reversões em tempo $O(n\sqrt{n} \lg n)$.

Algoritmo para Ordenação por Reversões com Orientação de Genes

- Krister Swenson, Yu Lin, Vaibhav Rajan e Bernard Moret, em 2008, provaram que a chance de uma permutação aleatória (com sinal) possuir pelo menos um *hurdle* é de $\Theta(n^{-2})$.

Exercício

Mostre como determinar todos os pares ordenados de uma permutação em tempo $O(n)$.

Exercício

Mostre como determinar a reversão de maior score de uma permutação em tempo $O(n^2)$.

Exercício

Mostre como determinar todos os hurdles de uma permutação em tempo $O(n^2)$.

Distância de Reversão, Translocação, Fusão e Fissão

- Sridhar Hannenhalli e Pavel Pevzner, em 1999, apresentaram o primeiro algoritmo polinomial para este problema.
- Pavel Pevzner e Glenn Tesler, em 2003, mostraram um cenário completo de evolução entre humanos e camundongos:
 - ▶ Eles consideraram 281 blocos conservados com pelo menos 1 Mbp.
 - ▶ Os blocos conservados no genoma humano tem tamanho médio de 9.6 Mbp, enquanto no camundongo, possuem tamanho médio de 8.5 Mbp.
 - ▶ Os blocos conservados no genoma humano cobrem 2707 Mbp (94.0% do genoma), enquanto no camundongo cobrem 2397 Mbp (95.3%).
 - ▶ Os *breakpoints* no genoma humano tem tamanho médio de 668 kbp enquanto no camundongo, possuem tamanho médio de 458 kbp.
 - ▶ Existe um cenário ótimo de evolução envolvendo 245 eventos (149 reversões, 93 translocações e 3 fissões).
 - ▶ Existem outros cenários possíveis com 245 eventos (o cenário anterior é o que apresenta o maior número de reversões).
 - ▶ Foram detectados também 3170 microarranjos (reversões), dentro dos blocos conservados.

Ordenação por Transposições

- A transposição $\rho(i, j, k)$, com $1 \leq i < j < k \leq n + 1$, troca os blocos $\pi[i..j - 1]$ e $\pi[j..k - 1]$ de lugar, ou seja, $\pi \cdot \rho(i, j, k) = \pi_1 \pi_2 \dots \pi_{i-1} \pi_j \pi_{j+1} \dots \pi_{k-1} \pi_i \pi_{i+1} \dots \pi_{j-1} \pi_k \dots \pi_n$.
- *Distância de Transposição*: dados dois genomas compostos por n blocos conservados, representados pelas permutações π e σ , calcular a distância de transposição ($d_t(\pi, \sigma)$) entre π e σ , ou seja, obter uma série de transposições $\rho_1, \rho_2, \dots, \rho_t$, de tamanho mínimo, tal que $d_t(\pi, \sigma) = t$ e $\pi \cdot \rho_1 \cdot \rho_2 \dots \rho_t = \sigma$.
- *Ordenação por Transposições*: dado um genoma composto por n blocos conservados, representado pela permutação π , calcular a distância de transposição ($d_t(\pi)$) entre π e a permutação identidade $\iota = (1, 2, \dots, n)$, ou seja, $d_t(\pi) = d_t(\pi, \iota)$.

Breakpoints e Strips

- Vamos considerar a permutação estendida que pode ser obtida a partir de π inserindo-se dois novos elementos: $\pi_0 = 0$ e $\pi_{n+1} = n + 1$.
- Um par de elementos π_i e π_{i+1} , para $0 \leq i \leq n$, é uma *adjacência* se $\pi_{i+1} - \pi_i = 1$. Caso contrário, o par de elementos é chamado de *breakpoint*.
- Uma *strip* $\pi[i..j]$ é uma trecho maximal em π tal que todos os pares (π_k, π_{k+1}) são adjacências, para $i \leq k < j$.
- O número de *breakpoints* numa permutação π é denotado por $b_t(\pi)$.
- A única permutação sem *breakpoints* é a permutação identidade.
- Seja $\Delta_{b_t}(\pi, \rho) = b_t(\pi \cdot \rho) - b_t(\pi)$. Logo, temos que $\Delta_{b_t}(\pi, \rho) \in \{-3, -2, -1, 0, 1, 2, 3\}$.
- Podemos obter o seguinte limite inferior para o valor distância de transposição ($d_t(\pi)$):

$$d_t(\pi) \geq \frac{b_t(\pi)}{3}$$

Algoritmo Ingênuo Baseado no Selection Sort para Ordenação por Transposições

Algoritmo 5: Selection Sort using Transpositions of Strips

Input: π, n

$t \leftarrow 0$

while $\pi \neq \iota$ **do**

$i \leftarrow 1$

while $\pi_i - \pi_{i-1} = 1$ **do** $i \leftarrow i + 1$;

$j \leftarrow i + 1$

while $\pi_j - \pi_{i-1} \neq 1$ **do** $j \leftarrow j + 1$;

$k \leftarrow j + 1$

while $\pi_k - \pi_{k-1} = 1$ **do** $k \leftarrow k + 1$;

$t \leftarrow t + 1$

$\pi \leftarrow \pi \cdot \rho(i, j, k)$

end

return t

Algoritmo Ingênuo Baseado no Selection Sort para Ordenação por Transposições

- Complexidade: $O(n^2)$.
- Aproximação:
 - ▶ O algoritmo ingênuo remove pelo menos um *breakpoint* por transposição.
 - ▶ O algoritmo ingênuo garante o seguinte limite superior para distância de transposição:

$$d_t(\pi) \leq b_t(\pi) - 2$$

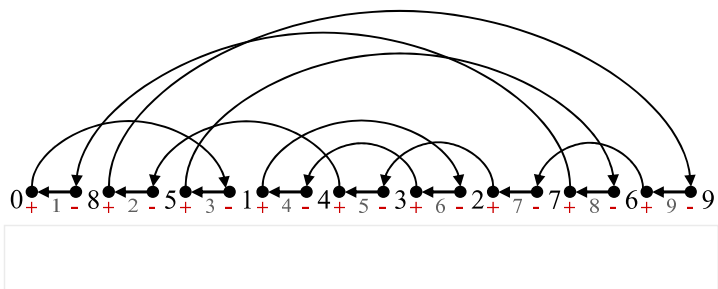
- ▶ Logo, o algoritmo ingênuo é um algoritmo de aproximação com fator:

$$\frac{b_t(\pi) - 2}{\frac{b_t(\pi)}{3}} < 3$$

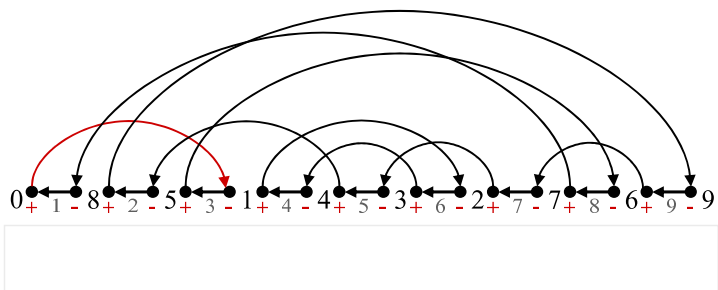
Grafo de Ciclos Alternados

- Dada uma permutação π de n elementos defina o grafo de ciclos alternados como $G(\pi) = (V, E_{black} \cup E_{gray})$.
- Defina o conjunto de vértices como:
 - ▶ $V = \{+0, -\pi_1, +\pi_1, -\pi_2, +\pi_2, \dots, -\pi_n, +\pi_n, -(n+1)\}$.
- Defina o conjunto de arestas pretas como:
 - ▶ $E_{black} = \{(-\pi_i, +\pi_{i-1}) \mid 1 \leq i \leq n+1\}$.
- Defina o conjunto de arestas cinzas como:
 - ▶ $E_{gray} = \{+(i-1), -i \mid 1 \leq i \leq n+1\}$.

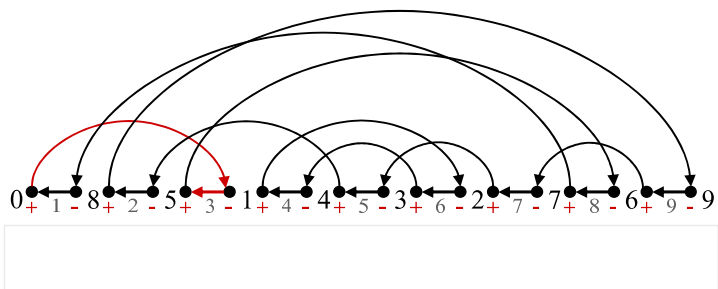
Grafo de Ciclos Alternados



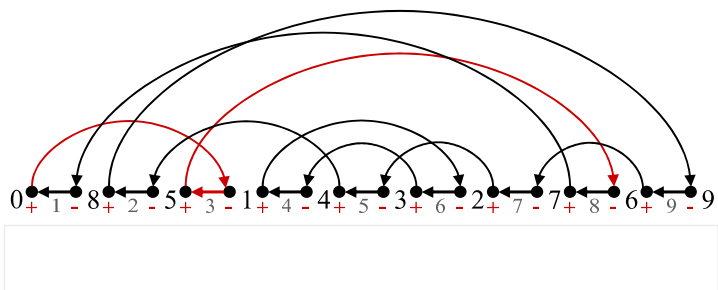
Grafo de Ciclos Alternados



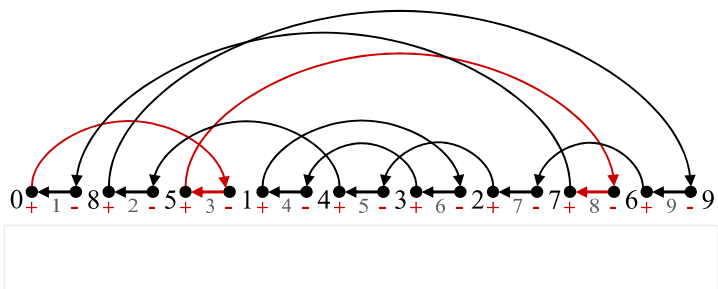
Grafo de Ciclos Alternados



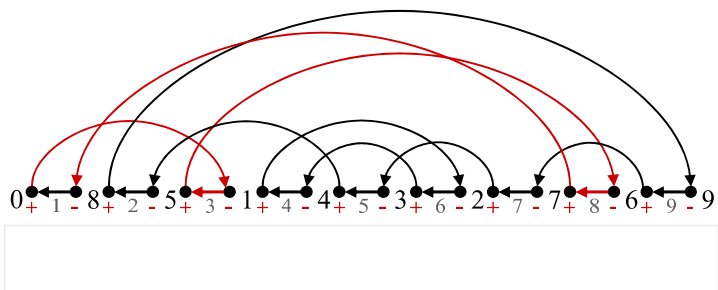
Grafo de Ciclos Alternados



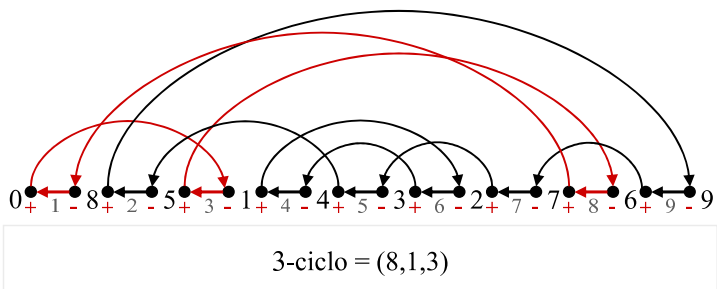
Grafo de Ciclos Alternados



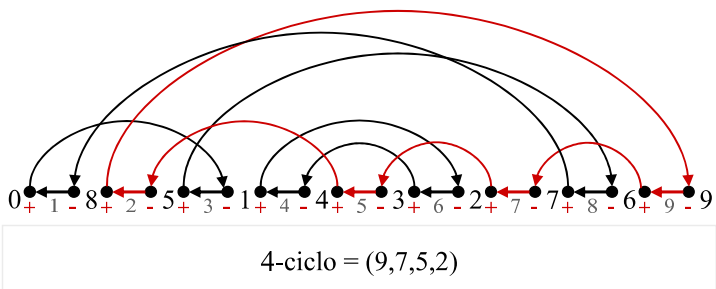
Grafo de Ciclos Alternados



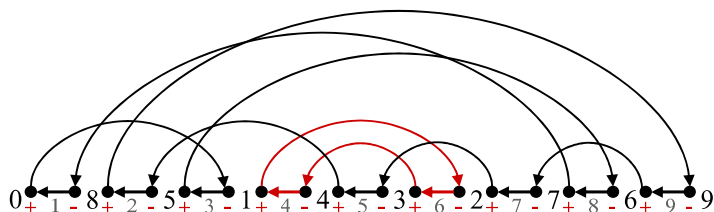
Grafo de Ciclos Alternados



Grafo de Ciclos Alternados



Grafo de Ciclos Alternados



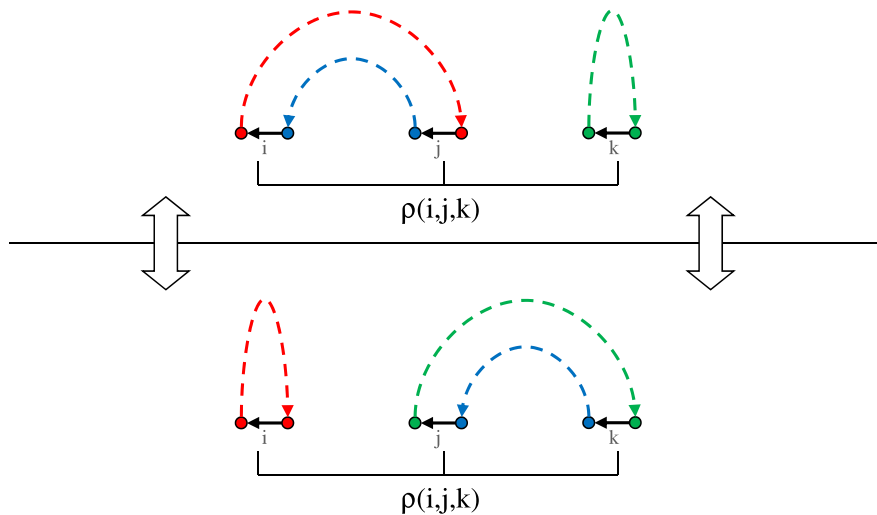
2-ciclo = (6,4)

Grafo de Ciclos Alternados

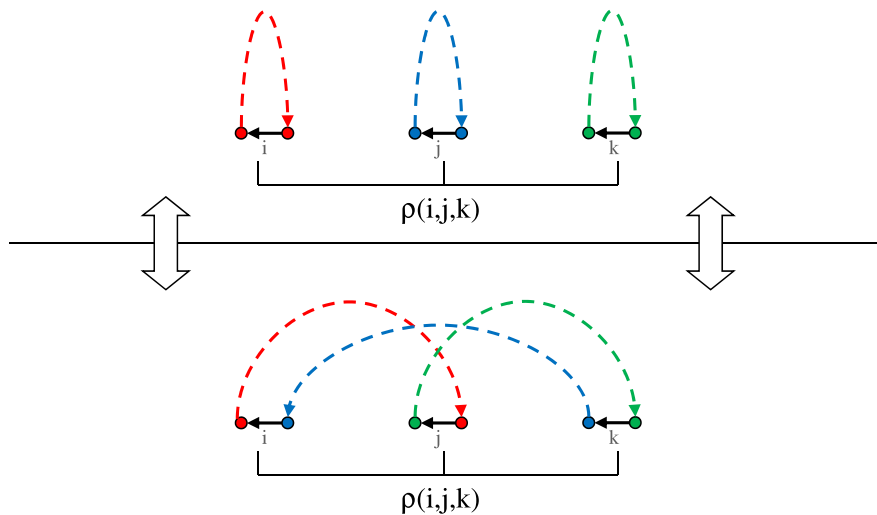
- Seja $c(\pi)$ o número de ciclos alternados de $G(\pi)$.
- Seja $c_{odd}(\pi)$ o número de ciclos alternados com número ímpar de arestas pretas de $G(\pi)$.
- A permutação identidade é a única cujo grafo de ciclos alternados possui $n + 1$ ciclos, sendo todos ímpares ($c(\iota) = c_{odd}(\iota) = n + 1$).
- Seja $\Delta_c(\pi, \rho) = c(\pi \cdot \rho) - c(\pi)$.
- Logo, $\Delta_c(\pi, \rho) \in \{-2, 0, 2\}$.
- Seja $\Delta_{c_{odd}}(\pi, \rho) = c_{odd}(\pi \cdot \rho) - c_{odd}(\pi)$. Pela paridade dos tamanhos dos ciclos, temos que $\Delta_{c_{odd}}(\pi, \rho) \in \{-2, 0, +2\}$.
- Usando a variação do número de ciclos (ímpares) podemos obter o seguinte limite inferior para o valor distância de transposição:

$$d_t(\pi) \geq \frac{n + 1 - c_{odd}(\pi)}{2} \geq \frac{n + 1 - c(\pi)}{2}$$

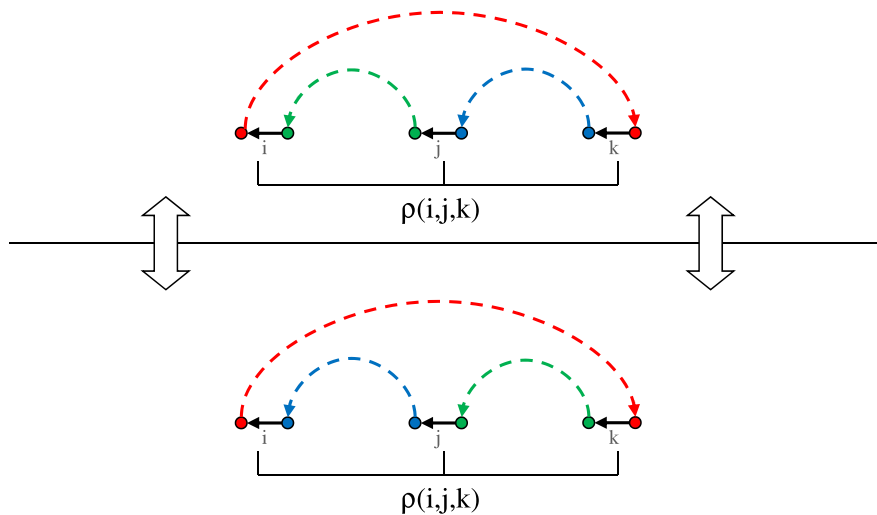
Transposição Agindo em Ciclos Alternados



Transposição Agindo em Ciclos Alternados



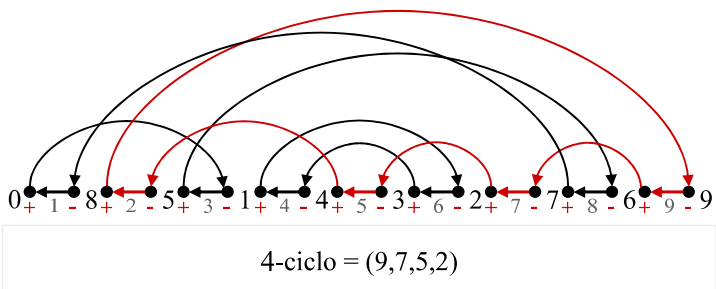
Transposição Agindo em Ciclos Alternados



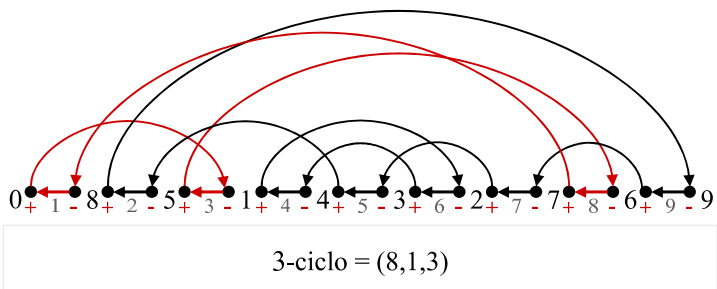
Grafo de Ciclos Alternados

- As arestas pretas do grafo $G(\pi)$ são numeradas de 1 a $n + 1$, sendo que a aresta $(-\pi_i, +\pi_{i-1})$ recebe o rótulo i .
- Uma transposição $\rho(i, j, k)$ age nas arestas pretas i, j e k .
- Uma transposição ρ em relação a π é chamada de x -move se e somente se $\Delta_c(\pi, \rho) = x$.
- Um ciclo alternado (ciclo de arestas de cores alternadas) é chamado k -ciclo se ele possuir $2k$ arestas (k pretas e k cinzas).
- Um k -ciclo é identificado por suas arestas pretas, a partir da arestas de maior rótulo, de acordo com a ordem imposta pela orientação de suas arestas.
- Um k -ciclo $C = (i_1, i_2, \dots, i_k)$ é chamado não orientado se i_1, i_2, \dots, i_k for uma sequência decrescente. Caso contrário, o ciclo é chamado de orientado.
- Uma transposição $\rho(i, j, k)$ age num ciclo C se $i, j, k \in C$.

Ciclo Não Orientado



Ciclo Orientado



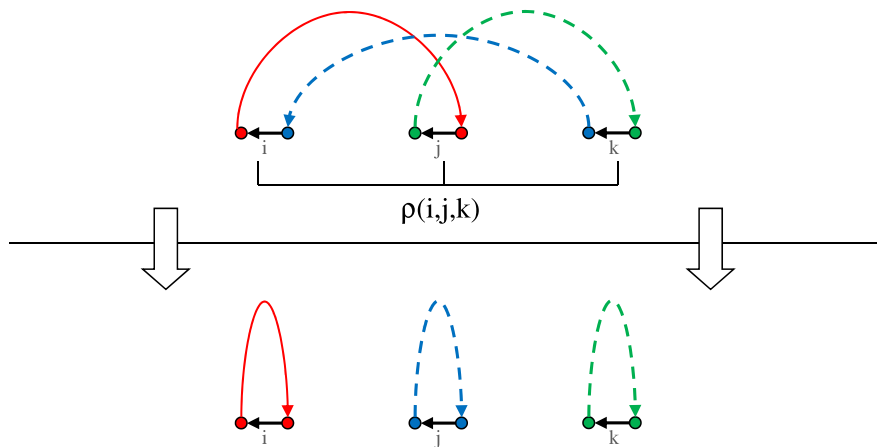
2-Move agindo num Ciclo Orientado

Lema

Se C é um ciclo orientado, então existe um 2-move que age em C .

Prova. Seja $C = (i_1, i_2, \dots, i_k)$ um ciclo orientado e seja $3 \leq t \leq k$ um índice tal que $i_t > i_{t-1}$. Considere uma transposição $\rho(i_{t-1}, i_t, i_1)$ agindo em C . Essa transposição cria um novo 1-ciclo (com os vértices $+\pi_{i_{t-1}-1}$ e $-\pi_{i_t}$), além de outros ciclos. Logo, $\rho(i_{t-1}, i_t, i_1)$ é um 2-move. \square

2-Move agindo num Ciclo Orientado



Grafo de Ciclos Alternados

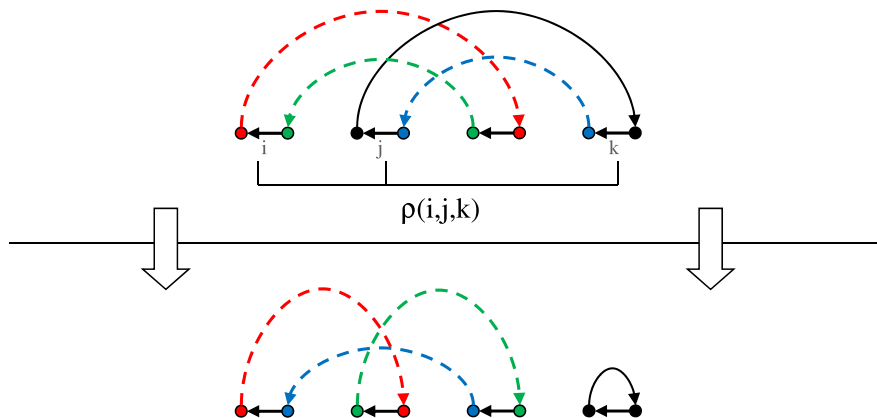
Lema

Seja $\pi \neq \iota$ uma permutação tal que $G(\pi)$ não possua nenhum ciclo orientado. Logo, existe um good 0-move, ou seja, um 0-move que cria um ciclo orientado.

Teorema

Qualquer permutação $\pi \neq \iota$ pode ser ordenada com $n + 1 - c(\pi)$ transposições.

0-Move que Cria um Ciclo Orientado



Algoritmo de Aproximação para Ordenação por Transposições

Algoritmo 6: Sorting by Transpositions

Input: π, n

$t \leftarrow 0$

while $\pi \neq \iota$ **do**

if $G(\pi)$ has an oriented cycle C **then**

$\rho \leftarrow$ a 2-move acting on C

end

else

$\rho \leftarrow$ a good 0-move

end

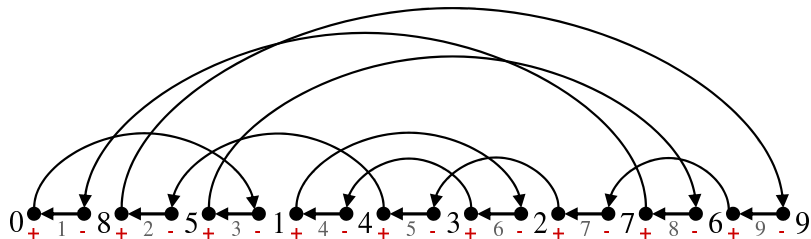
$t \leftarrow t + 1$

$\pi \leftarrow \pi \cdot \rho$

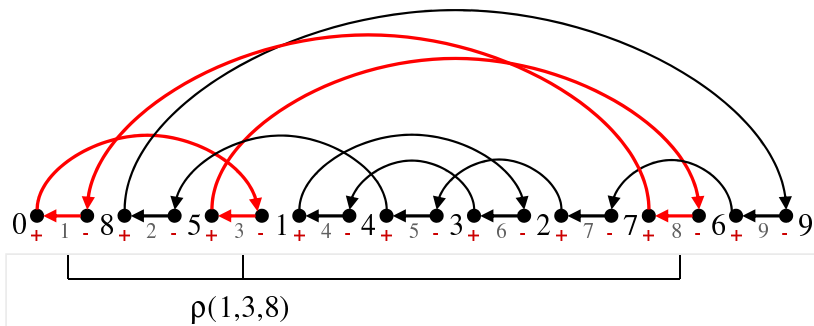
end

return t

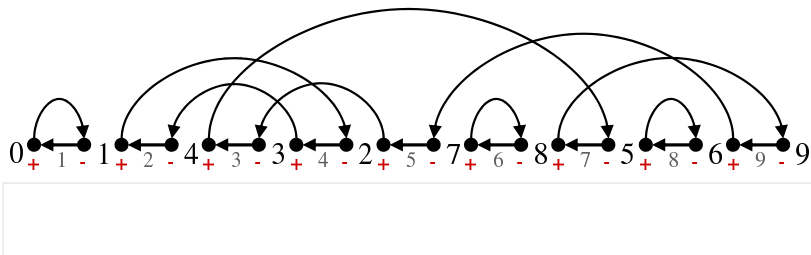
Algoritmo de Aproximação para Ordenação por Transposições



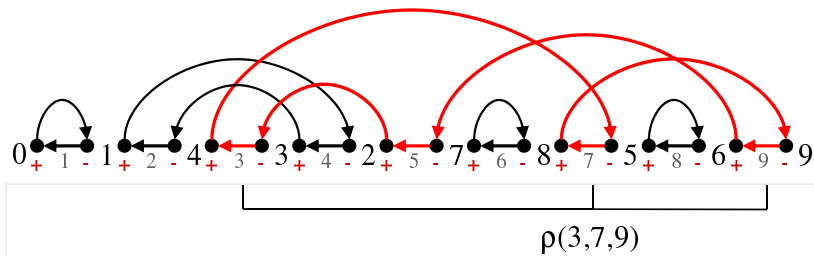
Algoritmo de Aproximação para Ordenação por Transposições



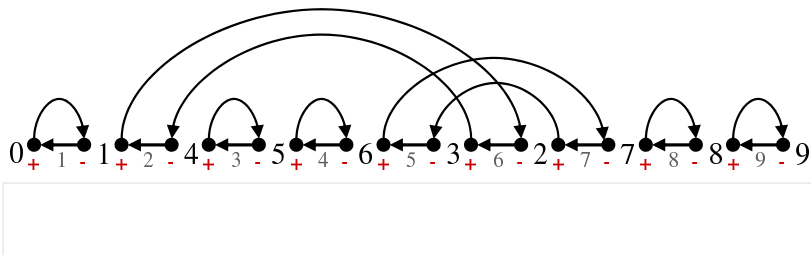
Algoritmo de Aproximação para Ordenação por Transposições



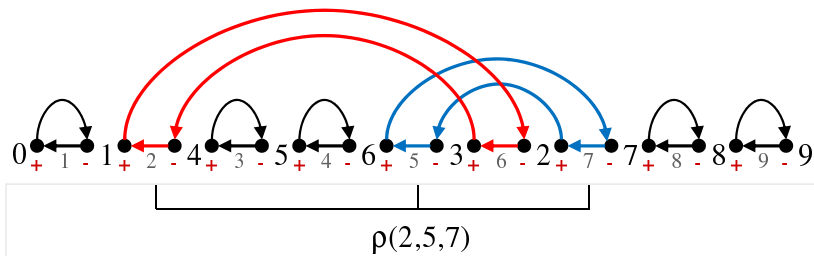
Algoritmo de Aproximação para Ordenação por Transposições



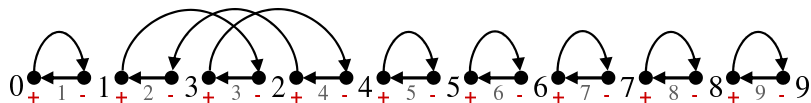
Algoritmo de Aproximação para Ordenação por Transposições



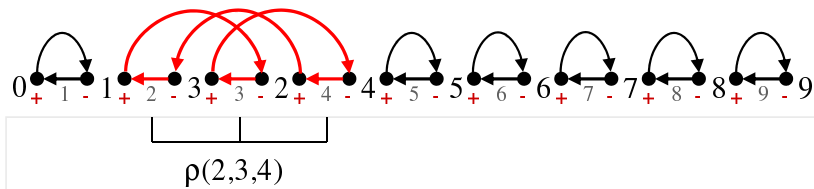
Algoritmo de Aproximação para Ordenação por Transposições



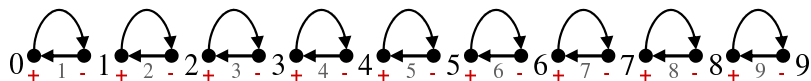
Algoritmo de Aproximação para Ordenação por Transposições



Algoritmo de Aproximação para Ordenação por Transposições



Algoritmo de Aproximação para Ordenação por Transposições



Algoritmo de Aproximação para Ordenação por Transposições

- Complexidade: $O(n^2)$.
- Aproximação:

$$\frac{n + 1 - c(\pi)}{\frac{n+1-c(\pi)}{2}} = 2$$

- Vineet Bafna e Pavel Pevzner, em 1998, apresentaram algoritmos de aproximação com fatores 3, 2, 1.75 e 1.5 para o problema de ordenação por transposições.
- Isaac Elias and Tzvika Hartman, em 2005, apresentaram um algoritmo de aproximação com fator 1.375 para o problema de ordenação por transposições. A prova da corretude do algoritmo é baseada em mais de 80 mil casos, que foram verificados computacionalmente.
- Laurent Bulteau, Guillaume Fertin e Irena Rusu provaram em 2011 que o problema de ordenação por transposições é \mathcal{NP} -Difícil.

Exercícios

Exercício

Ordene, usando o algoritmo de 2-aproximação, as seguintes permutações:

- $\pi = (7, 1, 6, 2, 5, 3, 4)$
- $\pi = (7, 6, 5, 4, 3, 2, 1)$
- $\pi = (8, 7, 6, 5, 4, 3, 2, 1)$

Reversões e Transposições

- Em 1998, Maria Emília Walter, Zanoni Dias e João Meidanis mostraram um algoritmo de 3-aproximação para o problema de ordenação por reversões e transposições para permutações sem sinais e um algoritmo de 2-aproximação para o problema de ordenação por reversões e transposições para permutações com sinais.
- Em 2008, Atif Rahman, Swakkhar Shatabda e Masud Hasan apresentaram um algoritmo de $2k$ -aproximação para o problema de ordenação por reversões e transposições para permutações sem sinais, onde k é a aproximação para um algoritmo para o problema de Máxima Decomposição em Ciclos.
- Em 2004, Guohui Lin e Tao Jiang mostraram um algoritmo de $1.4193 + \epsilon$ para o problema de Máxima Decomposição em Ciclos.
- Logo, existe um algoritmo de aproximação com fator $2.8386 + \epsilon$ para o problema de ordenação por reversões e transposições para permutações sem sinais.

Reversões de Prefixos e Transposições de Prefixos

- Como vimos anteriormente, Johannes Fischer e Simon Ginzinger, em 2005, mostraram um algoritmo de 2-aproximação para o problema de ordenação por reversões de prefixos para permutações sem sinais.
- Em 1995, David Cohen e Manuel Blum mostraram um algoritmo de 2-aproximação para o problema de ordenação por reversões de prefixos para permutações com sinais.
- Em 2011, Laurent Bulteau, Guillaume Fertin e Irena Rusu provaram que o problema de ordenação por reversões de prefixos para permutações sem sinais é \mathcal{NP} -Difícil.
- Em 2002, Zandoni Dias e João Meidanis mostraram um algoritmo de 2-aproximação para o problema de ordenação por transposições de prefixos para permutações sem sinais.

Reversões de Prefixos e Transposições de Prefixos

- Em 2010, Sharmin Mahfuza Sharmin, Rukhsana Yeasmin, Masud Hasan, Atif Rahman e Mohammad Sohel Rahman apresentaram um algoritmo de 3-aproximação para o problema de ordenação por reversões de prefixos e transposições de prefixos para permutações sem sinais.
- Em 2014, Zanoni Dias e Ulisses Dias apresentaram um algoritmo de 2-aproximação (assintótica) para o problema de ordenação por reversões de prefixos e transposições de prefixos para permutações sem sinais.
- Em 2014, Carla Lintzmayer e Zanoni Dias apresentaram um algoritmo de 2-aproximação (assintótica) para o problema de ordenação por reversões de prefixos e transposições de prefixos para permutações com sinais.

Calculando Todas as Distâncias de Rearranjo para Permutações Pequenas

- Construa um grafo onde cada vértice represente uma permutação de S_n (conjunto de todas as permutações de tamanho n).
- Para cada vértice π , adicione arestas para todos os vértices σ , tal que $\pi \cdot \rho = \sigma$, para todos eventos de rearranjo ρ aplicáveis a π .
- Para computar as distâncias, faça uma busca em largura a partir de ι para todos os demais vértices π do grafo, computando o número de vértices no caminho entre ι e π . Neste caso estamos supondo que se $\pi \cdot \rho = \sigma$ então existe um evento de rearranjo ρ' tal que $\sigma \cdot \rho' = \pi$.
- Este algoritmo tem complexidade polinomial no número de permutações de S_n , no entanto $|S_n| = n!$ para permutações sem sinais e $|S_n| = 2^n n!$ para permutações com sinais.
- Rearrangement Distance Database:
<http://mirza.ic.unicamp.br:8080/bioinfo>